



بررسی زمین‌شیمی و جایگاه زمین‌ساختی ماقمایی توده‌های نفوذی میزبان فیروزه در معدن فیروزه-طلای دامغان (باغو)، کمان آتشفسانی-نفوذی ترود-چاه شیرین

امیر امام جمعه^{*}، احمد جهانگیری، محسن مؤذن

گروه علوم زمین، دانشکده علوم طبیعی، دانشگاه تبریز، تبریز

(دریافت مقاله: ۹۸/۱۲/۵، نسخه نهایی: ۹۹/۳/۲۴)

چکیده: توده‌های نفوذی نیمه عمیق دیوریتی به سن اتوسن میانی و توده‌های گنبدهای شکل ریولیتی در غرب کمان آتشفسانی-نفوذی ترود-چاه شیرین، سنگ‌های آتشفسانی اتوسن پیشین را قطع کردند. توده‌های گرانودیوریتی و ریولیتی میزبان اصلی کانه‌سازی فیروزه و طلا در معدن دامغان (باغو) هستند. این توده‌ها سرشت آهکی-قلیابی غنی از پتاسیم، متالومین (دیوریت‌ها و Zr-Nb- TiO₂-La-Hf و بخشی از گرانودیوریت‌ها) تا پرآلومینوس (ریولیت‌ها و بخشی از گرانودیوریت‌ها) دارند. مقایسه مقادیر Ce/P₂O₅ و همچنین نسبت‌های Rb به Y+Nb نشان دهنده ارتباط فعالیت ماقمایی با محیط‌های پس برخوردی تتیس جوان است. از طرفی دگرنهادی گوشته زیر کمان در اثر آزاد شدن سیال‌ها از رسوب‌ها و ورقه فرورونده سبب ناهنجاری منفی عناصر Ti، Nb و Ta و Zr-Nb- TiO₂-La-Hf در گوشته زیر کمان باشد میدان (LILE / HFSE) در گوشته و ماقمایی برآمده شده است. نسبت بالای عناصر سنگ دوست بزرگ یون به عناصر باشد میدان بالا (LILE / HFSE) در گوشته سبب تشکیل ماقمای اولیه‌ای شده که در اثر جدایش بلوری، آلایش پوسته‌ای و آمیختگی، ماقماهای دیوریتی، گرانودیوریتی و ریولیتی را بوجود آورده است.

واژه‌های کلیدی: گرانودیوریت؛ پس برخوردی؛ باغو؛ دامغان؛ فیروزه.

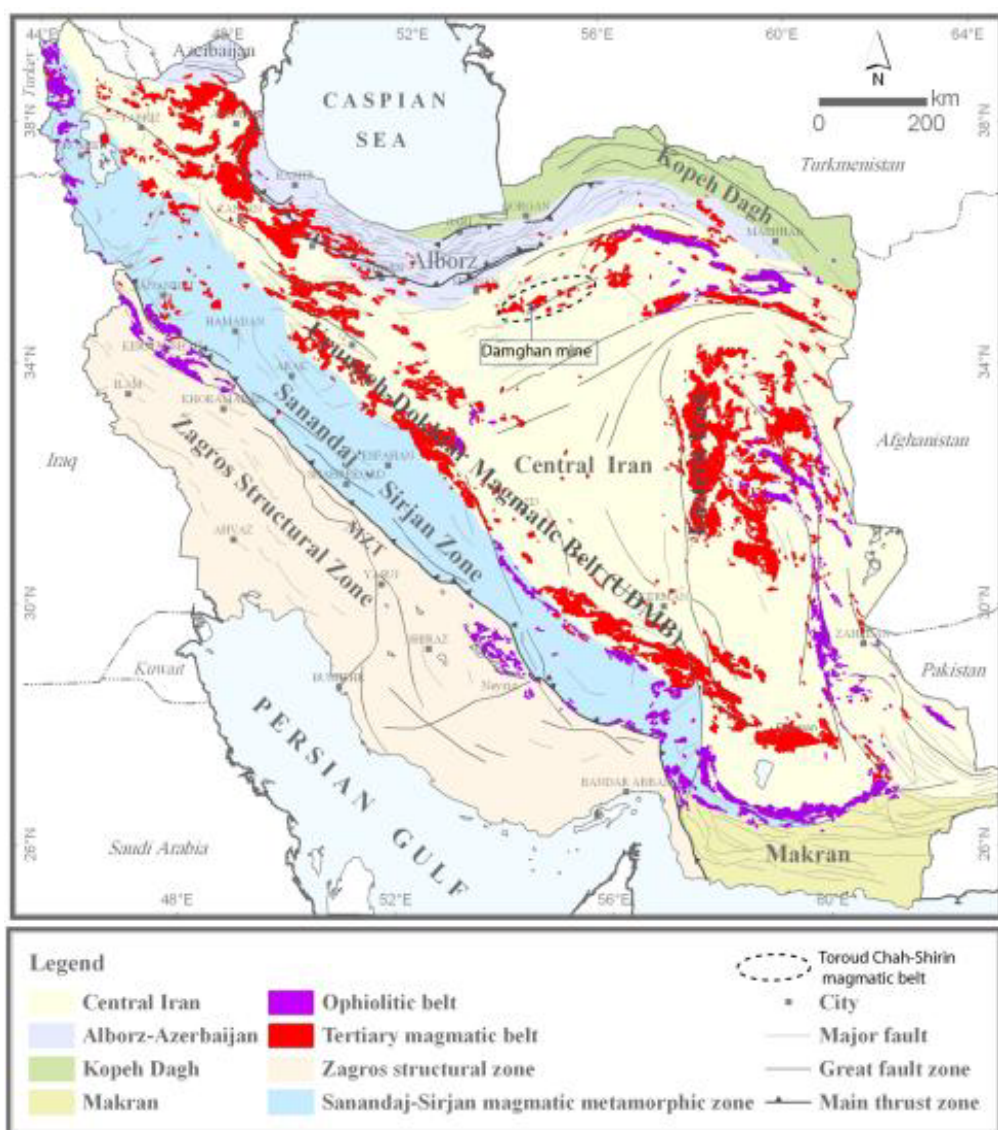
اساس نتایج زمین‌شیمی‌ای، این توده‌ها آهکی-قلیابی پتاسیم بالا تا شوشونیتی و نوع I هستند و در محیط کرانه فعال قاره‌ای (نوع آند) تشکیل شده‌اند [۷]. قربانی [۱۰-۸] عمق جایگیری توده‌های نیمه عمیق این کمان را ۲-۳/۵ کیلومتر برآورد کرده و معتقد است که نیروهای کششی در محیطی کششی-کششی-جدایشی عامل فعالیت‌های ماقمایی سنوزوئیک این کمان هستند. ایشان با بررسی برونبوهم‌های مافیک موجود در توده‌های گرانودیوریتی، پس از تایید ماقمایی بودن آنها، برپایه شواهدی مانند منطقه-بنده معکوس در پلازیوکلازها، الگوی مشابه عناصر خاکی نادر (REE) برونبوهم‌های مافیک ریزبلور با میزبان‌های گرانودیوریتی، شباهت شیمی‌کانی بیوتیت و پیروکسن برونبوهم‌ها با بیوتیت و پیروکسن میزبان گرانودیوریتی و وجود پلازیوکلازهای جعبه‌ای شکل، معتقد است که ماقمایی بازیک-حدواسط به مخزن

مقدمه

منطقه مورد بررسی با نام‌های معدن فیروزه-طلای کوه‌ز، دامغان یا باغو، در ۹۰ کیلومتری جنوب دامغان، در مسیر جاده دامغان به معلمان، ۸ کیلومتری شرق روستای کوه زر و یک کیلومتری جنوب کلاته خالی از سکنه باغو قرار دارد (شکل ۱) [۱]. این منطقه در کمان آتشفسانی-نفوذی ترود-چاه شیرین در نقشه ۱:۲۵۰۰۰ ترود [۲] و در پهنه ساختاری شمال ایران میانی یا پهنه گذر ایران مرکزی-البرز جای دارد [۳]. در نقشه نام برده، این منطقه در رخنمون‌های آتشفسانی برشی داسیتی و در نقشه ۱:۱۰۰۰۰۰ معلمان [۴]، در سنگ‌های داسیتی و داسیتی-آنزیتی دگرسان شده [۵، ۶] و توده کوارتز دیوریت و کوارتز مونزودیوریت قرار دارد. رشید نژاد [۷] معتقد است که سن توده‌های گرانیت‌وئیدی، اتوسن پسین-الیگوسن است و بر

دیوریت پورفیری (نمونه G44) را $39,78 \pm 0,73$ میلیون سال (ائوسن میانی-بارتونین) در نظر گرفته‌اند و توده‌های دیوریتی را آخرین فاز فعالیت ماقمایی در منطقه بر شمرده‌اند. آنها توده‌های کم عمق ریولیتی گنبدهای شکل را تفکیک نکرده‌اند. توده‌ها، میکروگرانودیوریت و دایک‌های دیوریتی را به ترتیب $43 \pm 4,75 \pm 2,4$ میلیون سال (مرز اائوسن پیشین و میانی)، $1,3 \pm 1,72$ میلیون سال (ائوسن میانی-لوتسین) و $38 \pm 0,87$ میلیون سال (ائوسن میانی-بارتونین) تعیین کرده‌اند. نامبرگان نیز توده گنبدهای شکل ریولیتی و توده‌های مافیک-حدواست دیوریتی-گابرویی را تفکیک نکرده‌اند.

ماگمای گراییتی-گرانودیوریتی وارد شده و آمیختگی ماگمایی انجام شده است. برخی پژوهشگران کمان ترود-چاه شیرین را بخشی از کوهزاد البرز و فعالیت‌های ماگمایی منطقه را در ارتباط با فروزانش پوسته اقیانوسی تیس جوان به زیر خردۀ قاره ایران مرکزی می‌دانند [۱۱] و بر اساس نسبت‌های استرانسیوم ($\text{Sr}^{87}/\text{Sr}^{86}$) اولیه $0,70429 \pm 0,00456$ و مقدار $\epsilon_{\text{Nd}}(t) = 1,72 (+2,56)$ ، تشکیل سنگ‌های ماگمایی منطقه را ناشی از ذوب‌بخشی گوشه (اسپینل فلوگوپیت لرزولیتی) در نظر گرفته‌اند [۱۱]. ایشان بر اساس سن‌سنگی اورانیوم-سرب یک نمونه، سن توده‌های گرانودیوریتی نیمه عمیق در ارتباط با کانی سازی طلا را $44,37 \pm 0,57$ میلیون سال (ائوسن میانی، لوتسین) و سن توده‌های پیروکسن



شکل ۱ موقعیت منطقه مورد بررسی و راه دسترسی به آن از جاده آسفالت دامغان-ملuman، برگفته از مرجع [۱] با تغییرات جزئی.

که سبب تشکیل حوضه های کششی-جدایشی و فعالیت های ماگمایی در ائوسن، ایجاد گسل های عادی در سنگ های کرتاسه و جوانتر با روند NW-SE و گسترش گسل ترود به سمت شرق شده است [۳، ۸، ۱۳]. از الیگو سن تاکنون، نظام لغزشی- فشارشی راستگرد بر منطقه حاکم بوده و حرکت فعلی گسل ترود راستگرد است [۸، ۱۳].

براساس بررسی های صحرایی و داده های پیشین، توده های منطقه را می توان بر پایه زمان جایگیری از قدیم به جدید به صورت زیر در نظر گرفت (شکل ۲): ۱- توده های نفوذی کوچک ریز بلور و گاهی پورفیری با ترکیب های صحرایی گابرو دیوریت که در توده گرانودیوریتی نفوذ کرده اند و رنگ رخنمون و نمونه دستی این سنگ ها از سیاه تا خاکستری-سبز در تغییر است (شکل های ۳ الف و پ). این توده ها به صورت برونزدهای کوچک ۱۰ تا ۶۰ متری در توده گرانودیوریتی دیده می شود و در نقشه ارائه شده (شکل ۲) قابل جانمایی نیستند. مرزهای نفوذ به جز در پایان تونل طلا و در محل حفاری های قدیمی (در جنوب تونل اول فیروزه) به راحتی قابل تفکیک نیست (شکل ۳ ب). روح بخش و همکاران [۱۱] با سن سنجی یک نمونه از سنگ پیروکسن دیوریت پورفیری و تعیین سن $\pm ۷۳/۷۳$ میلیون سال (ائوسن میانی-بارتونین)، باور دارند که توده های دیوریتی توده اصلی گرانودیوریتی را قطع کرده و جوانترین توده منطقه هستند. این موضوع در ادامه تحلیل می شود. ۲- نوع دوم توده نفوذی نیمه عمیق پورفیری و گاهی عمیق تمام بلورین با ترکیب گرانودیوریتی تا کوارتز مونزونیتی به سن $۴۴/۳۷ \pm ۰/۵۷$ میلیون سال (ائوسن میانی-لوتسین) [۱۲] یا $۴۳ \pm ۱/۳$ میلیون سال (ائوسن میانی-لوتسین) [۱۱] است. رنگ نمونه دستی این سنگ ها خاکستری روشن است و درشت بلورهای فلدسپات در آن دیده می شود. این توده در بخش های محدودی تمام بلورین کامل بوده و تقریباً همیشه به ویژه در بخش های مرکزی و غربی منطقه دارای برونبوم های تیره رنگ ریز بلور مافیک است (شکل ۳ الف تا ج). ۳- توده بعدی توده نفوذی کوچک گنبدی شکل با بافت پورفیری و ترکیب صحرایی ریولیت بوده که در محل حفره روباز قدیمی معدن در توده گرانودیوریتی نفوذ کرده است. این توده اغلب دگرسان است و رنگی روشن دارد (شکل های ۳ الف، ج و ح). در این توده، برونبومی دیده نشد. ۴- گروه چهارم دایک های فلسیک و رگه های کوچک و گاهی بزرگ تورمالین-کوارتز هستند. شاهدی بر قطع شدن گنبد ریولیتی توسط دایک ها دیده نشد. دایک های فلسیک و مافیک و رگه های ستر تورمالین-کوارتز آخرین جلوه های ماگمایی-گرمایی منطقه هستند [۱۴، ۱۵].

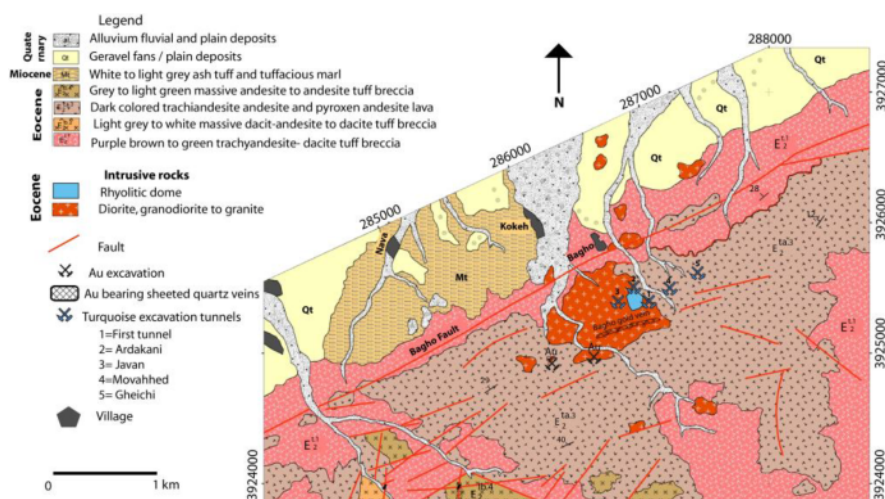
روش پژوهش

پس از بررسی داده های پیشین، بررسی های صحرایی با برداشت دویست نمونه سنگی (با تمرکز بر توده های نیمه عمیق میزبان کانی سازی) انجام شد. پس از بررسی های سنگنگاری ۶۰ مقطع نازک و نازک-صیقلی، تعداد ۳۳ نمونه سالم برای تجزیه شیمیایی به روش طیف سنجی فلورسانس پرتوی X (XRF) با دستگاه PANalytical Axios^{MAX} و طیف سنجی جرمی پلاسمای جفت شده القایی سایش لیزری (LA-ICP-MS) با طیف سنج چارقطبی Agilent 7700 انتخاب شدند. داده های مربوط به اکسیدهای اصلی برآمده تجزیه شیشه های ذوب شده همگن (ذوب لیتیوم متاپورات) و عناصر فرعی از تجزیه قرص های فشرده هر دو به روش XRF و داده های مربوط به عناصر خاکی نادر از تجزیه شیشه های ذوب شده همگن به روش LA-ICP-MS در انجمن علوم زمین، دانشگاه لوزان سوئیس به دست آمدند. بهسازی داده های LA-ICP-MS با نرم افزار LAM انجام شد. سه عنصر فرعی Ga، V و Cu از نتایج تجزیه XRF (قرص فشرده) برداشت شدند.

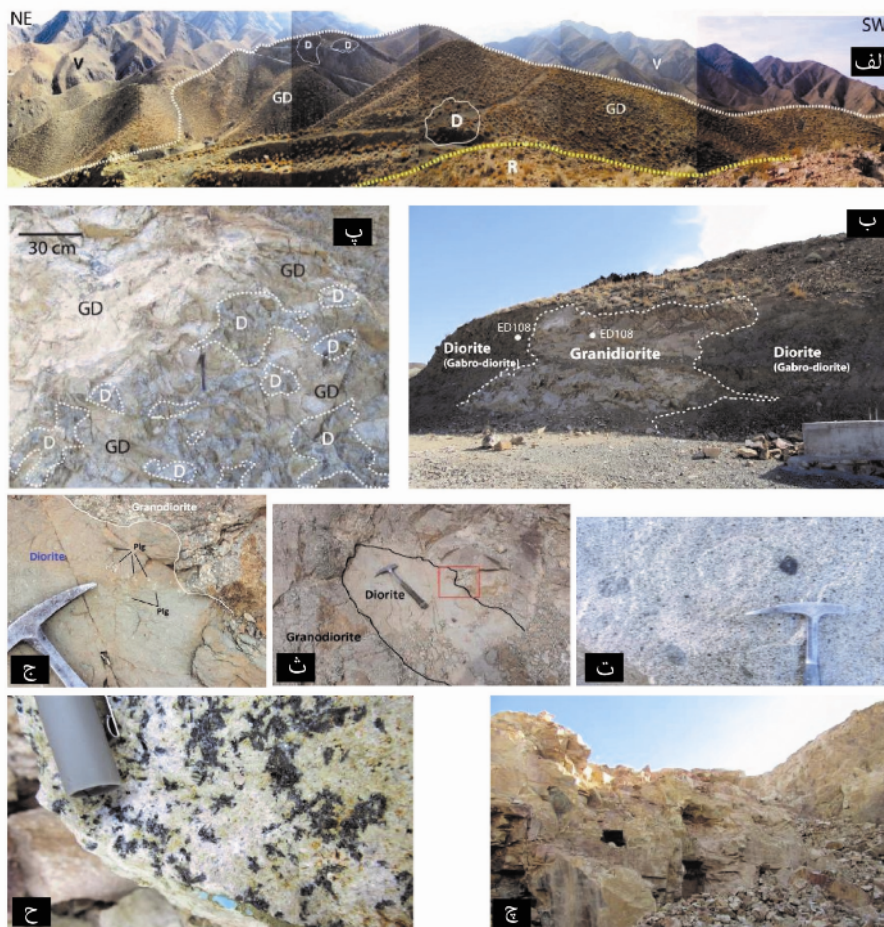
زمین شناسی

کمان ماگمایی ترود-چاه شیرین میزبان کانه سازی های فلزی و غیرفلزی عمدت های است و توالی های رسوی و دگرگونی پر کامبرین تا کرتاسه پیشین به صورت منقطع در آن تشکیل شده اند. برای این کمان، هیچ فعالیت ماگمایی از ژوراسیک تا پایان کرتاسه گزارش نشده است و نشانه ای از فعالیت ماگمایی و حتی رسوب گذاری در دوران سوم در پالئوسن پیشین نیز دیده نمی شود و این نشانگر خروج این بخش از ایران مرکزی از کرتاسه پسین تا ائوسن از آب است. رسوب گذاری در دوران سنوزوئیک با کنگلومرا و آهک های نومولیت دار قاعده ائوسن شروع می شود و از آغاز ائوسن تا آغاز الیگو سن توالی های آتش فشانی در این کمان رخنمون دارند. الیگومیوسن با کنگلومرای قاعده سازند قم شروع می شود و در برخی مناطق، مارن ها و توفه های میوسن توالی های آتش فشانی ائوسن را می پوشانند. توده های نفوذی عمیق تا نیمه عمیق گرانودیوریتی، گرانیتی و مونزونیتی توالی های آتش فشانی ائوسن را قطع می کنند. دایک های مافیک و فلسیک آخرین جلوه های ماگمایی این کمان هستند [۲].

از دیدگاه زمین ساختی، این کمان در مرزبین گسل رباعی- کوه زر [۱۳، ۸] در شمال و گسل ترود در جنوب قرار دارد. این گسل ها هر دو راستگرد با مولفه معکوس و روند N60E هستند. تکامل زمین ساختی این کمان در ارتباط با گسل های تراکنشی یا حوضه های کششی-جدایشی (Pull-apart) برآمده از گردش خرده قاره ایران مرکزی است و نظام منطقه ترود از اواخر کرتاسه تا اواخر ائوسن واتنش لغزشی-کششی راستگرد بوده



شکل ۲ موقعیت منطقه مورد بررسی در نقشه از نفشه زمین شناسی ۱۴۰۰۰۰ با تغییرات.

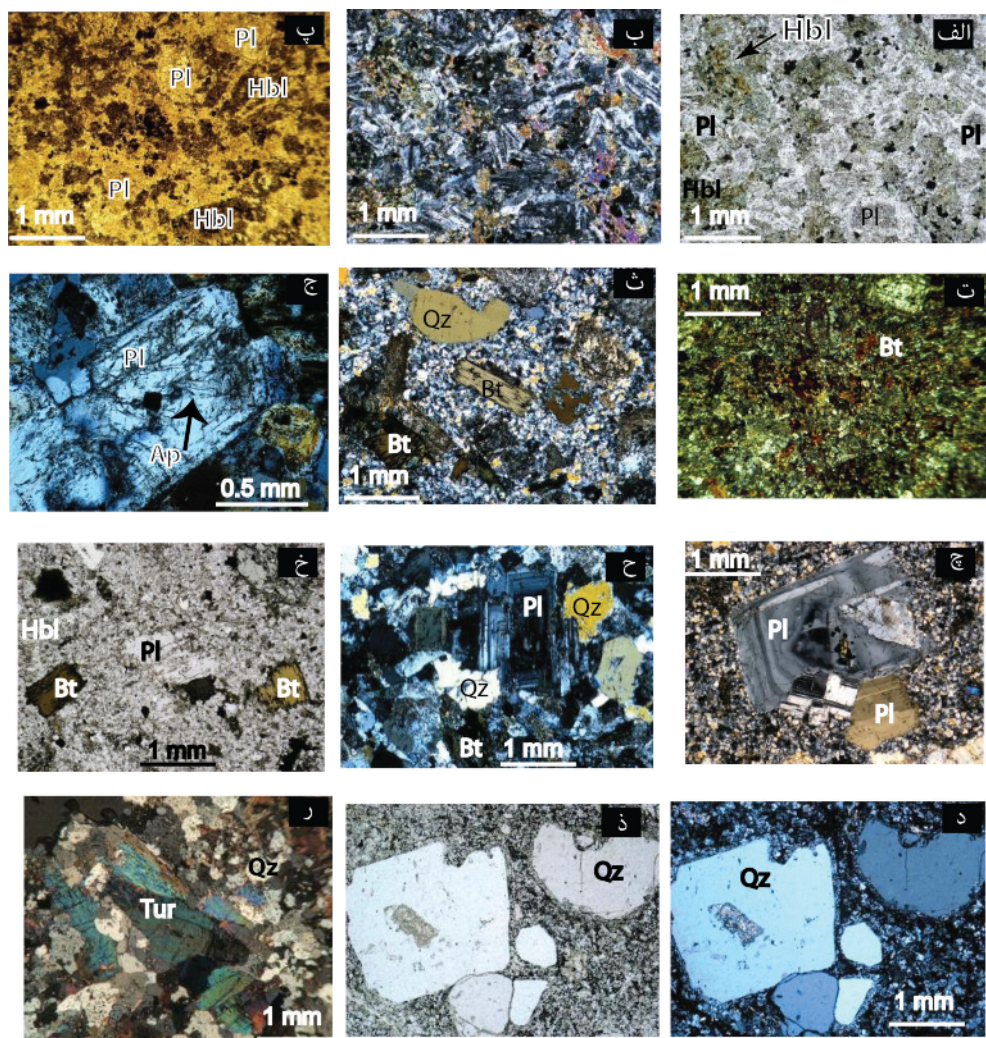


شکل ۳ الف-نمایی از هر سه توده و سنگ‌های آتشفسانی میزان، دید به جنوب‌شرق. عکس از دیواره جنوبی حفره روباز (تونل اول) گرفته شده است. مقیاس تکه‌های دیوریتی کمی بزرگنمایی شده است. ب- نمایی از محل حفاری‌های قدیمی که تنها محلی است که می‌توان نفوذ توده گرانودیوریتی را در توده دیوریتی (در این محل گابرو-دیوریت) دید. پ- بخشی از مرز غربی نفوذ در عکس ب که نشان‌دهنده تکه‌هایی از توده دیوریتی در توده گرانودیوریتی است: نمایی نزدیک از توده نیمه عمیق گرانودیوریتی همراه با برونوهمی دیوریتی. ث- نمایی از برونوهمی دیوریتی در توده گرانودیوریت با مرزهای دندانه‌دار، ج: تصویر بزرگ شده کادر قرمز در تصویر ج. درشت بلورهای پلاژیوکلاز نامتجانس در برونو. چ- نمایی از توده ریولیتی در محل حفره استخراجی فیروزه، ح: کانی سازی تورمالین و رچه فیروزه در گنبد ریولیتی . D=Diorite, R=Rhyolite, GD=Granodiorite

دیوریت برای نامگذاری کل این توده به کار می‌رود. برونوم‌های موجود در توده گرانودیوریتی نیز ویژگی‌های سنگنگاری شبیه به توده دیوریتی (با تمایل بیشتر به گابرو-دیوریت) دارند و شامل پلازیوکلازهای کلسیک، پیروکسن و هورنبلند هستند (شکل‌های ۴ پ و ت).

سنگنگاری

کانی‌های اصلی توده دیوریتی شامل پلازیوکلاز، پیروکسن، هورنبلند، کمی بیوتیت و گاهی کوارتز است (شکل‌های ۴ الف و ب). نمونه ED108 ویژگی‌های یک گابرو-دیوریت ریز بلور را نشان می‌دهد، ولی از نظر سنگنگاری، بیشتر نمونه‌های این توده در گستره دیوریت و کوارتز دیوریت قرار دارند و واژه



شکل ۴ الف و ب: بلورهای پلازیوکلاز کلسیک، هورنبلند، کلینوپیروکسن و مقدار کمی بیوتیت که سازای اصلی توده دیوریت (دیوریت-گابرو) هستند در نمونه ED108، (به ترتیب در نور قطبیده صفحه‌ای (ppl) و نور قطبیده مقاطع (xpl)، با بزرگنمایی 40x)، پ و ت: برونوم دیوریتی در میزان گرانودیوریتی (نمونه ED-174) شامل پلازیوکلازهای کلسیک، هورنبلند (به ترتیب در ppl و xpl با بزرگنمایی 40x)، ث تا خ: توده گرانودیوریتی، ث: پلازیوکلاز دارای منطقه‌بندی و جعبه‌ای شکل در زمینه بلورین کامل از پلازیوکلاز، کوارتز و بیوتیت. (ED181xpl 40X) ج: بلورهای خودشکل آپاتیت سوزنی به صورت میانبارهای جامد پیش‌زاد در پلازیوکلاز، و بیوتیت ED156.100X-xpl ج: درشت‌بلور پلازیوکلاز منطقه‌بندی با میانبار پیش‌زاد زیرکن. ED156.xpl 40x ح: نمونه ED169 گرانودیوریت با بافت دانه‌ای و بدون زمینه شامل بلورهای پلازیوکلاز منطقه‌بندی، بیوتیت، و کوارتز ED156.xpl 40x خ: درشت‌بلورهای پلازیوکلاز و بیوتیت در زمینه پلازیوکلاز و کوارتز ED156.ppl 40x د و ذ: بلورهای کوارتز با لبه‌های خلیجی در زمینه‌ای ریز بلور از کوارتز، پلازیوکلاز و فلدسپارپاتاسیم در گندب ریولیتی-5 ED21-xpl. به ترتیب در ppl و xpl با بزرگنمایی 40x ر: بلورهای تورمالین خودشکل در زمینه‌ای از کوارتزهای ثانویه در گندب ریولیتی 40x. نشانه‌های اختصاری کانی‌ها برگرفته از مرجع [۱۶] است

زمینه بدون شیشه و ریز بلورتر از گرانودیوریت است. ویژگی این توده گنبدهای شکل، کوارتزهای خلیجی فراوان و وجود تورمالین است.

زمین شیمی: نتایج تجزیه ۳۳ نمونه سنگ کل در جدول‌های ۱ تا ۳ رائه شده است. از نتایج تجزیه‌های زمین شیمیایی پیشین [۱۱]، ۷ نمونه دیوریت تا کوارتز دیوریت و سه نمونه گرانودیوریت، در نام‌گذاری‌ها و نمودارهای هارکر [۱۷] استفاده شده است (جدول ۲). جانمایی نمونه‌ها در نمودار قوش و همکاران [۱۸] نشان می‌دهد که نمونه‌های مافیک تا حد واسط در گستره گابرو-دیوریت، دیوریت، کوارتز دیوریت، مونزونیت و مونزودیوریت، نمونه‌های توده گرانودیوریتی در گستره گرانودیوریت، کوارتز مونزونیت تا گرانیت و نمونه‌های گنبدهای فلسیک در گستره گرانیت (ریولیت) قرار دارند (شکل الف).

گرانودیوریت‌ها، شبه-پورفیری و گاهی تمام بلورین و از کانی‌های شامل پلازیوکلاز (بیشتر دارای ماکل چندريخت و منطقه‌بندی و شکل جعبه‌ای)، کوارتز (بین بلوری و گاهی خلیجی)، بیوتیت به نسبت فراوان، ارتوز و مقدار کمی هورنبلند تشکیل شده‌اند (شکل‌های ۴ تا خ). آپاتیت، کانی‌های کدر و به مقدار بسیار کم زیرکن کانی‌های فرعی هستند. میانبارهای زیرکن و آپاتیت در پلازیوکلاز و کوارتز دیده می‌شوند (شکل ۴). دگرسانی‌ها شامل سریسیتی شدن فلدسپات، کلربیتی شدن بیوتیت و هورنبلند و کائولینیتی شدن برخی از ارتوزها هستند. زمینه بلورین کامل (ریزلولور) و شامل کوارتز و پلازیوکلاز است. کانی‌های تشکیل دهنده توده شبه پورفیری ریولیتی شامل کوارتزهای خلیجی، پلازیوکلاز و ارتوز (کم) هستند (شکل‌های ۴ د و ذ). کانی تورمالین (افشان و رگجه تورمالین-کوارتز) در کل توده ریولیتی دیده می‌شود (شکل ۴ ر).

جدول ۱ نتایج تجزیه شیمیایی ۳۳ نمونه سنگی به روش XRF (تجزیه شیشه همگن برای اکسیدهای اصلی) و پودرفشرده برای عناصر V, Cu در انجمن علوم زمین، دانشگاه لوزان، سوئیس. نتایج بر اساس حذف مواد فرار (LOI) دوباره محاسبه شده اند.

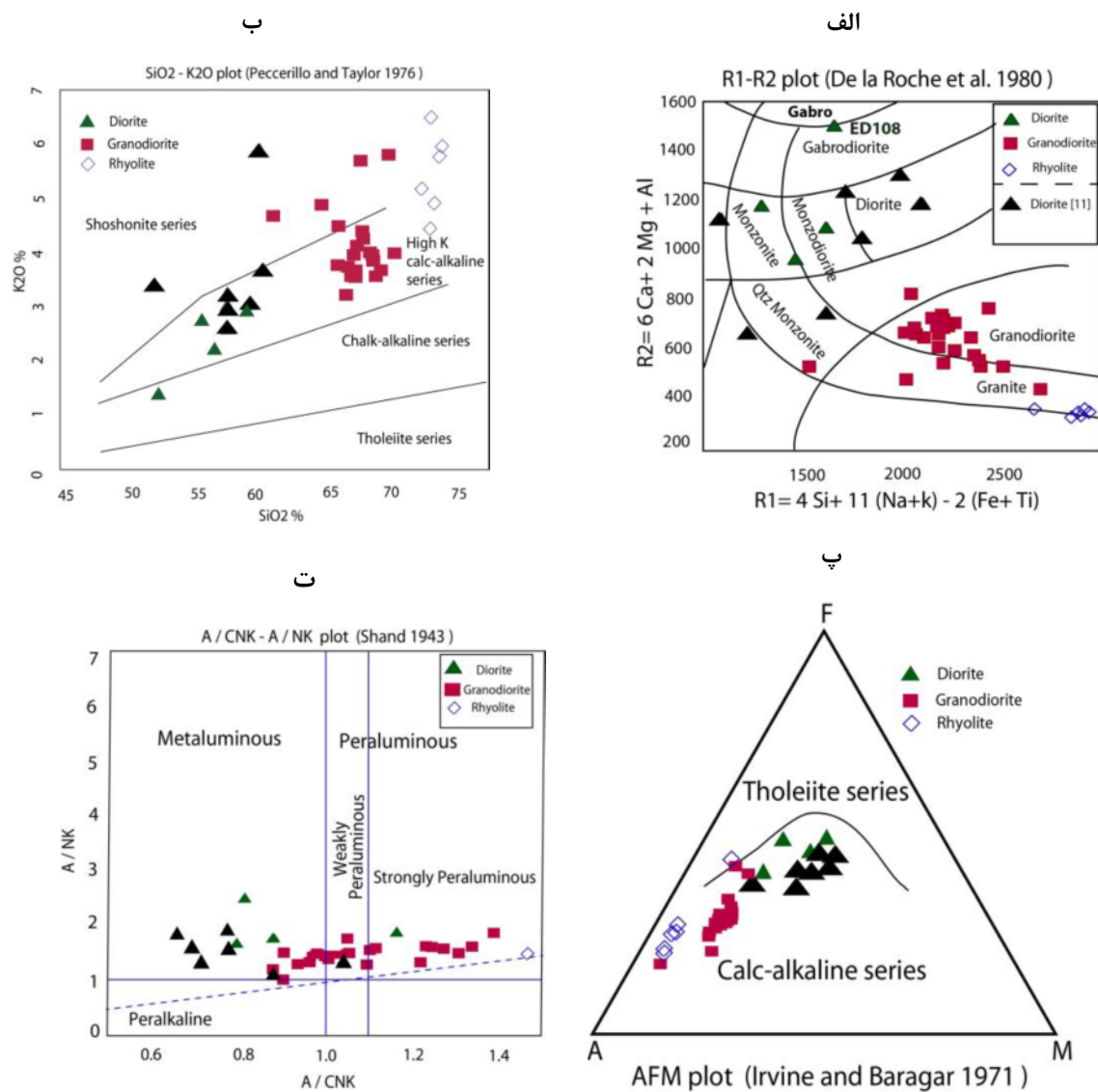
نمونه	نوع	XRF													> ppm	Cu ppm	Ga ppm
		S%	SiO ₂ %	T%	Al ₂ O ₃ %	FeO _T %	MnO%	Mg%	CaO%	Na ₂ O%	K ₂ O%	P ₂ O ₅ %	LOI				
ED104	D	55.98	0.80	16.84	9.41	0.12	2.39	6.21	4.25	2.72	0.31	1.14	21.26	280.90	19.90		
ED160	D	59.25	0.88	17.59	6.27	0.13	2.75	5.55	4.11	2.90	0.22	1.09	129.90	95.90	19.20		
ED108	D	52.53	0.97	18.17	9.17	0.21	5.05	8.36	3.51	1.36	0.22	1.41	240.90	133.80	21.60		
ED164	D	56.82	0.74	17.92	9.13	0.08	4.89	2.30	4.20	2.19	0.33	2.68	222.30	177.30	18.60		
ED37	GD	68.37	0.42	15.23	3.51	0.06	1.52	2.58	3.95	4.22	0.18	1.37	52.20	152.50	15.10		
ED78-4	GD	69.40	0.46	18.59	1.57	0.01	0.49	1.10	2.46	2.64	0.26	3.69	47.20	70.100	16.30		
ED96	GD	64.97	0.59	16.51	5.62	0.04	2.02	0.78	4.18	4.87	0.31	2.22	123.30	107.20	16.20		
ED102	GD	69.43	0.45	15.86	3.61	0.02	1.71	1.38	3.52	3.85	0.20	1.86	57.80	40.770	16.40		
ED107	GD	67.31	0.47	16.04	4.01	0.05	1.91	2.50	3.79	3.55	0.20	1.82	104.10	198.10	16.20		
ED109	GD	68.11	0.42	15.03	3.68	0.07	1.60	2.60	3.94	4.24	0.19	1.19	51.80	156.70	15.40		
ED111	GD	67.99	0.51	16.27	3.61	0.02	1.55	1.88	2.79	3.52	0.22	2.80	88.20	148.70	17.60		
ED153	GD	70.74	0.44	15.88	2.46	0.02	1.73	1.01	3.66	4.7	0.20	1.67	67.60	145.40	15.70		
ED156	GD	68.78	0.38	15.27	3.28	0.07	1.49	2.87	3.88	3.87	0.17	0.75	50.70	94.80	15.60		
ED157.1	GD	68.07	0.44	15.62	3.86	0.06	1.70	2.09	3.97	3.53	0.20	0.81	63.50	29.80	16.10		
ED158	GD	69.07	0.43	15.74	3.70	0.07	1.62	2.74	3.71	3.95	0.18	0.85	61.60	116.50	15.40		
ED163	GD	66.85	0.45	15.45	5.24	0.13	1.69	2.37	3.14	3.20	0.22	3.95	63.30	187.40	15.30		
ED169	GD	66.17	0.46	15.76	4.06	0.07	1.91	2.74	3.86	3.75	0.19	0.90	65.30	81.50	16.60		
ED173	GD	69.24	0.40	15.71	3.76	0.03	1.52	2.21	3.77	3.57	0.17	1.50	61.10	374.80	15.80		
ED177	GD	69.26	0.46	15.83	4.12	0.03	1.82	1.17	2.77	3.87	0.21	5.39	65.70	183.90	16.50		
ED181	GD	67.73	0.45	15.35	3.96	0.04	1.92	2.53	3.62	3.95	0.21	1.88	69.20	103.40	15.80		
ED182	GD	66.15	0.46	15.19	4.02	0.05	1.82	2.70	3.27	4.47	0.20	2.15	60.80	82.90	16.20		
ED183	GD	67.01	0.45	15.64	3.88	0.04	1.83	2.87	3.79	3.70	0.21	2.41	73.40	39.70	16.00		
ED191	GD	67.73	0.43	15.58	3.59	0.04	1.70	2.32	3.74	4.16	0.19	1.46	63.20	370.30	16.10		
ED192	GD	67.53	0.39	15.35	3.58	0.05	1.78	2.11	3.59	4.00	0.20	2.38	82.50	50.400	16.20		
ED193	GD	68.46	0.44	15.12	3.21	0.06	1.82	2.49	3.66	4.23	0.20	1.88	59.90	462.00	15.80		
ED194	GD	67.68	0.44	15.68	3.82	0.04	1.86	2.80	3.90	3.58	0.21	2.05	63.90	22.40	16.30		
ED196	GD	67.93	0.50	17.04	5.65	0.01	1.25	0.07	0.96	5.69	0.18	4.29	126.60	69.00	18.40		
ED21-2	R	74.12	0.37	13.96	2.65	0.00	0.41	0.07	1.90	5.78	0.14	1.49	54.80	122.0	14.20		
ED21-3	R	72.81	0.40	15.19	2.68	0.00	0.49	0.12	2.56	5.18	0.13	1.78	56.90	85.80	14.90		
ED21-4	R	72.77	0.32	13.22	5.18	0.00	0.88	0.04	1.00	4.89	0.17	2.25	43.70	10.00	11.70		
ED21-5	R	74.35	0.35	14.89	2.10	0.00	0.42	0.03	1.66	5.96	0.13	1.63	43.60	20.20	14.00		
ED99	R	73.49	0.45	15.20	2.12	0.00	0.50	0.04	1.26	6.47	0.18	2.83	66.70	22.50	15.20		
ED101	R	73.42	0.42	15.81	2.67	0.00	0.42	0.06	2.43	4.43	0.20	2.33	60.20	31.10	15.40		

جدول ۲ نتایج تجزیه سنگ کل ۷ نمونه از رخنمون های دیوریتی (نمونه های KP1 تا G44) با روش های XRF و ICP-MS به ترتیب در ایران و کانادا. [۱۱].

	KP1	KP52	KP85	KP103	KP67	KP41	G44	G6	G22	G8
Petrography	Px Diorite por	Bt Hbl px Diorite	Px Monzodiorite	Px Monzodiorite	Px Diorite por	Px Diorite por	Px Diorite por	Bt Granodiorite	Hbl Diorite	Bt Granodiorite
SiO ₂	57,82	59,48	52,27	60,28	60,63	57,77	57,71	68,15	70,1	68,9
TiO ₂	0,8	0,92	0,88	0,94	0,81	0,78	0,8	0,51	0,51	0,52
Al ₂ O ₃	14,22	14,26	13,03	13,68	14,04	13,33	13,66	13,88	12,5	12,9
FeO	7,62	7,15	9,84	7,36	6,89	8,82	8,22	4,03	3,56	3,77
MnO	0,14	0,13	0,22	0,11	0,09	0,2	0,14	0,05	0,09	0,05
MgO	5,14	4,16	7,21	2,93	5,05	6,06	4,87	2,19	1,86	2,08
CaO	6,49	5,17	4,72	2,07	1,84	5,81	7,38	1,3	1,13	2,21
Na ₂ O	3,23	3,48	3,62	3,3	3,82	2,23	2,83	3,6	3,24	3,84
K ₂ O	3,23	3,01	3,4	5,88	3,63	3	2,58	4,04	5,79	4,02
P ₂ O ₅	7,62	0,41	0,27	0,23	0,11	8,82	0,27	0,19	0,19	0,2
LOI	0,83	1,58	4,3	3,01	2,74	1,58	1,3	1,89	0,9	1,32
TOTAL	106,31	98,17	95,47	96,78	97,01	106,78	98,46	97,94	98,8	98,5
Mg#	61,12	57,55	62,07	48,1265	63,07	61,5566	57,996	55,878	52,1	56,3
Ba	576	578	786	780	553	522	490	439	825	510
Rb	67,7	57,6	71,6	141,9	94,4	62,8	52	117,1	124	101
Sr	797,4	869,8	766,2	374,5	681,4	676,4	760,8	389,2	565	553
Zr	112,4	133,7	82,7	243,3	151,1	102	106	135,1	136	126
Nb	6	8,9	4,5	13,1	7,5	5,1	5,5	12	7,5	11,6
Ga	16,7	17,1	16,4	17,1	17,3	16,8	16,6	15,7	11,4	14,6
La	22,3	22,1	19,0	38,2	23,1	27,7	21,1	27,9	19,4	26,1
Ce	45,4	52,4	39,1	74,1	46,8	62,4	44,1	49,8	40,7	48
Pr	5,49	6,33	4,88	8,57	5,67	7,81	5,41	5,19	4,75	4,83
Nd	22,1	25,2	19,9	32,2	21,2	33,6	22,2	17,2	18,5	17,2
Sm	4,48	4,85	4,22	6,29	4,57	8,38	4,43	3,08	3,14	2,81
Eu	1,24	1,29	1,21	1,29	1,13	2,31	1,28	0,8	0,61	0,8
Gd	4,04	3,97	3,87	5,86	4,36	9,25	4,16	2,54	2,79	2,67
Tb	0,59	0,54	0,56	0,84	0,63	1,46	0,59	0,35	0,41	0,37
Dy	3,53	3,2	3,24	5,05	3,83	8,64	3,57	2,19	2,8	2,43
Ho	0,63	0,58	0,61	0,96	0,71	1,46	0,65	0,38	0,5	0,43
Er	1,9	1,64	1,81	2,72	2,04	3,73	1,91	1,23	1,53	1,37
Tm	0,27	0,25	0,27	0,41	0,32	0,5	0,28	0,18	0,25	0,19
Yb	1,83	1,68	1,6	2,72	2,07	2,96	1,91	1,3	1,69	1,43
Lu	0,29	0,24	0,26	0,43	0,33	0,41	0,29	0,2	0,25	0,2
Y	18,8	17	17,7	27,2	20,9	41,2	19,7	12,6	14,5	13,2
A,CNK	0,68	0,77	0,71	0,87	1,03	0,77	0,65	1,09	0,9	0,87
Eu/Eu*	0,89	0,92	0,92	0,85	0,77	0,8	0,91	0,87	0,83	0,89
CeN_YbN	6,42	8,07	6,32	7,05	5,85	5,85	5,97	6,23	9,91	8,68

جدول ۳ نتایج سنگ‌های مورد بررسی (به ppm) بر شیشه‌های همگن، در انجمن علوم زمین، دانشگاه لوزان، سوئیس.

	Rb	Sr	Y	Zr	Nb	Cs	Ba	La	Ce	Pr	Nd	Sm	Eu	Gd	Tb	Dy	Ho	Er	Tm	Yb	Lu	Hf	Ta	Pb	Th	U	
ED104	۵۷/۵۲	۹۳۰/۹۷	۱۹/۹۵	۱۲۴/۵۶	۷/۶۰	۱/۶۵	۲۸۲/۲۲	۲۴/۸۷	۴۹/۸۷	۵/۹۰	۲۴/۰/۲	۴/۷۲	۱/۲۰	۴/۰/۹	۰/۵۸	۳/۶۷	۰/۷۱	۱/۹۹	-۰/۲۹	۲/۰/۳	-۰/۳۰	۳/۳۴	-۰/۵۳	۱۹/۸۸	۷/۳۳	۱/۹۶	
ED160	۷۲/۲۰	۹۳۷/۸۰	۱۸/۶۵	۱۴۲/۰/۴	۷/۷۶	۳/۴۳	۴۶۹/۵۴	۲۷/۴۷	۵۲/۵۹	۶/۱۳	۲۴/۰/۵	۴/۵۲	۱/۲۶	۴/۰/۰	۰/۵۲	۳/۲۶	۰/۶۳	۱/۷۸	-۰/۲۷	۱/۸۷	-۰/۲۹	۳/۷۲	-۰/۵۴	۱۰/۶۱	۷/۰/۷	۱/۶۴	
ED108	۳۵/۰/۵	۱۰/۴۵/۴۴	۱۹/۶۶	۸۸/۱۳	۵/۰/۱	۳/۳۹	۲۳۶/۳۵	۱۶/۳۸	۳۴/۴۲	۴/۵۱	۱۹/۷/۱	۴/۵۱	۱/۳۶	۴/۲۸	۰/۶۰	۳/۶۳	-۰/۷۳	۲/۰/۱	۰/۳۰	۱/۹۵	-۰/۲۸	۲/۰/۵	-۰/۳۲	۲۲/۷۹	۳/۱۳	۱/۰/۰	
ED164	۶۶/۵۸	۵۷۹/۷۱	۱۷/۲۶	۷۸/۳۷	۳/۷۲	۶/۰/۷	۳۰/۰/۴۴	۱۶/۱۱	۲۲/۲۹	۳/۹۶	۱۶/۴۴	۳/۴۹	-۰/۹۸	۳/۳۱	۰/۴۸	۳/۰/۴	-۰/۶۲	۱/۷۳	-۰/۲۶	۱/۷۰	-۰/۲۶	۲/۰/۲	-۰/۲۶	۵/۰/۷	۴/۰/۰	۱/۱۶	
ED37	۱۰/۴۲/۸	۴۹۱/۰/۱	۱۲/۱۶	۱۹/۹/۸۵	۱۱/۱۳	۲/۱۹	۴۸۱/۴۷	۴۲/۶۳	۷۲/۰/۲	۶/۹۶	۲۲/۷/۶	۳/۳۷	-۰/۷۸	۲/۰/۵۹	-۰/۳۴	۲/۰/۹	-۰/۴۱	۱/۲۱	-۰/۱۸	۱/۳۶	-۰/۲۱	۳/۶۴	-۰/۱/۷	۱۷/۸۵	۱۳/۸۳	۲/۲۴	
ED78-۴	۱۱۵/۹۸	۳۶۲/۱۲	۵/۱۴	۱۲۵/۶۹	۱۱/۱۷	۶/۰/۴	۴۶۵/۵۲	۱۴/۴۴	۲۷/۲۳	۲/۰/۶	۹/۴۷	۱/۶۸	-۰/۶۳	۱/۳۲	-۰/۱/۷	۱/۰/۳	-۰/۲۲	-۰/۶۲	-۰/۱۰	-۰/۸۰	-۰/۱/۲	۳/۳۳	-۰/۹۳	۱۶/۳۰	۱۲/۶۳	۵/۵۲	
ED96	۱۴۲/۵۶	۳۸۷/۷۱	۲۰/۰/۲	۱۴۸/۰/۹	۷/۸۲	۳/۱۲	۶۲۵/۱۳	۲۵/۰/۷	۴۹/۶۵	۵/۰/۰	۲۲/۰/۵۸	۴/۴۵	۱/۳۰	۴/۱۱	-۰/۵۹	۳/۸۶	-۰/۷۷	۲/۰/۴	-۰/۲۴	۲/۱۷	-۰/۳۴	۴/۰/۰	-۰/۵۸	۱۲/۵۹	۸/۰/۰	۲/۷۵	
ED102	۱۲۱/۰/۹	۳۵۶/۴۶	۱۱/۰/۴	۱۲۶/۰/۱۰	۱۱/۱۳	۳/۳۶	۳۹۵/۳۳	۲۴/۰/۱	۴۹/۶۷	۴/۰/۵	۱۵/۰/۸	۳/۷۰	-۰/۷۰	۲/۰/۷	-۰/۳۱	۱/۹۹	-۰/۳۹	۱/۰/۷	-۰/۱۶	۱/۱۷	-۰/۱۹	۳/۶۲	-۰/۰/۴	۲۰/۰/۳۲	۱۲/۶۶	۲/۰/۰	
ED107	۷۶/۲۷	۶۵۶/۳۰	۱۲/۹۶	۱۳۱/۰/۱	۹/۴۰	۳/۶۲	۵۶۹/۱۹	۲۲/۰/۳۵	۳۷/۰/۲	۴/۱۳	۱۵/۰/۳۶	۲/۰/۷	-۰/۸۳	۲/۰/۴	-۰/۳۵	۲/۰/۴	-۰/۴۴	۱/۳۳	-۰/۱۹	۱/۳۴	-۰/۲۲	۳/۶۸	-۰/۰/۴	۲۰/۰/۲۹	۱۱/۲۷	۱/۰/۶	
ED109	۱۰/۹/۸	۴۹۲/۰/۹	۱۲/۹۴	۱۴۰/۰/۹	۱۱/۰/۰	۲/۷۰	۴۸۳/۰/۰	۲۰/۰/۳۳	۴۳/۰/۰	۴/۰/۸	۱۷/۰/۰	۲/۰/۹	-۰/۷۸	۲/۰/۷	-۰/۳۴	۲/۰/۱۷	-۰/۴۳	۱/۲۶	-۰/۲۱	۱/۴۱	-۰/۲۳	۳/۷۰	-۰/۰/۷	۱۷/۰/۲۱	۱۳/۹۷	۲/۰/۰	
ED111	۱۱۲/۰/۶	۴۵۰/۰/۷	۱۳/۰/۷	۱۳۹/۰/۸	۱۲/۰/۶	۳/۲۷	۴۲۱/۰/۹	۲۱/۰/۴	۴۰/۰/۰	۴/۰/۶	۱۶/۰/۹	۲/۰/۴	-۰/۸۰	۲/۰/۸	-۰/۳۶	۲/۰/۶	-۰/۴۹	۱/۳۹	-۰/۲۱	۱/۰/۷	-۰/۲۴	۳/۶۹	-۰/۰/۲	۲۸/۶۴	۱۱/۷۸	۱/۰/۶	
ED153	۱۱۱/۰/۰	۳۵۷/۰/۵	۱۳/۰/۴	۱۳۴/۰/۹	۱۱/۰/۶	۴/۰/۰	۴۹۳/۰/۰	۲۹/۰/۶	۴۹/۰/۵	۰/۰/۶	۱۹/۰/۹	۳/۱۱	-۰/۸۰	۲/۰/۷	-۰/۳۸	۲/۰/۳۳	-۰/۴۶	۱/۰/۹	-۰/۲۰	۱/۰/۵	-۰/۳۶	۳/۶۴	-۰/۰/۲	۱۰/۰/۴	۲/۰/۰	۲/۰/۰	
ED156	۹۶/۰/۸	۵۳۰/۰/۵۳	۱۱/۰/۲	۱۲۶/۰/۷۳	۱۰/۰/۴	۲/۰/۴	۴۰/۰/۳۸	۲۴/۰/۳۶	۴۲/۰/۰	۴/۰/۱	۱۵/۰/۰	۲/۰/۶	-۰/۷۳	۲/۰/۲	-۰/۳۳	۲/۰/۹	-۰/۴۱	۱/۱۸	-۰/۱۹	۱/۰/۹	-۰/۲۲	۳/۵۸	-۰/۰/۲	۱۷/۰/۹۴	۱۳/۰/۴	۲/۰/۷۶	
ED157.1	۹۴/۰/۰	۵۷۳/۰/۵۷	۱۳/۰/۲	۱۳۲/۰/۹	۱۰/۰/۳۶	۲/۰/۶	۵۳۴/۰/۹	۳۱/۰/۵	۵۸/۰/۱۰	۰/۰/۵	۲۰/۰/۷۶	۲/۰/۶	-۰/۹۳	۲/۰/۷۸	-۰/۳۷	۲/۰/۳۵	-۰/۴۴	۱/۰/۳۱	-۰/۲۱	۱/۰/۴	-۰/۲۲	۳/۵۰	-۰/۰/۸۸	۱۵/۰/۶۳	۱۰/۰/۳۶	۲/۰/۲۱	
ED158	۹۱/۰/۹	۵۱۳/۰/۸۹	۱۲/۰/۹	۱۳۰/۰/۴	۹/۰/۶	۲/۰/۱	۴۹۷/۰/۷۳	۲۸/۰/۹۹	۵۱/۰/۱	۰/۰/۰	۱۸/۰/۶۹	۲/۰/۱۴	-۰/۷۸	۲/۰/۰	-۰/۳۴	۲/۰/۲۱	-۰/۴۴	۱/۰/۲۴	-۰/۱۹	۱/۰/۳۷	-۰/۰/۲۳	۳/۰/۸	-۰/۰/۸۵	۲۹/۰/۲۰	۱۱/۹۲	۱/۰/۰	
ED163	۷۴/۰/۸	۴۹۸/۰/۵۲	۱۰/۰/۹	۱۲۲/۰/۶	۱۱/۰/۳	۳/۰/۲	۹۱۵/۰/۳۳	۲۹/۰/۵۳	۵۳/۰/۰	۰/۰/۱	۵/۰/۰	۱۹/۰/۱۹	۲/۰/۹۹	-۰/۸۶	۲/۰/۲۹	-۰/۳۱	۲/۰/۰	-۰/۱۶	۱/۰/۲۳	-۰/۰/۲۰	۳/۰/۴۶	-۰/۰/۰	۴/۰/۴۲	۱۱/۰/۰	۲/۰/۳۶		
ED169	۹۷/۰/۰	۵۶۷/۰/۴۶	۱۳/۰/۳	۱۴۰/۰/۱	۱۰/۰/۱	۳/۰/۴	۰/۰/۱۴۳	۲۹/۰/۹۲	۵۳/۰/۷۳	۰/۰/۰	۱۹/۰/۷۶	۳/۰/۳۹	-۰/۹۳	۲/۰/۷۷	-۰/۳۸	۲/۰/۴۳	-۰/۴۶	۱/۰/۲۰	-۰/۱۰	۱/۰/۴۷	-۰/۰/۲۳	۳/۰/۸	-۰/۰/۹۱	۱۹/۰/۷۸	۱۱/۰/۴۴	۲/۰/۰	
ED173	۹۱/۰/۲	۵۱۹/۰/۳۱	۱۲/۰/۹	۱۲۱/۰/۸	۹/۰/۱	۳/۰/۱	۴۸۶/۰/۲۱	۲۲/۰/۲۸	۵۸/۰/۱۰	۰/۰/۵	۲۰/۰/۷۷	۲/۰/۴۰	-۰/۰/۸	۲/۰/۷۵	-۰/۰/۴۰	۲/۰/۴۰	-۰/۰/۴۶	۱/۰/۴۰	-۰/۰/۰	۱/۰/۴۷	-۰/۰/۲۴	۳/۰/۸	-۰/۰/۸۵	۲۹/۰/۲۰	۱۱/۹۲	۱/۰/۰	
ED177	۱۱۹/۰/۴	۳۴۳/۰/۸۸	۱۱/۰/۴	۱۲۶/۰/۹۵	۱۱/۰/۱	۲/۰/۹	۴۷۵/۰/۲۴	۲۴/۰/۹۶	۴۰/۰/۴۷	۴/۰/۹	۱۶/۰/۲۲	۲/۰/۴	-۰/۷۶	۲/۰/۴۷	-۰/۰/۳۱	۰/۰/۰	-۰/۱۰	۱/۰/۲۲	-۰/۰/۱۹	۳/۰/۴۵	-۰/۰/۰	۱۵/۰/۹۳	۱۲/۰/۳۰	۱/۰/۰			
ED181	۱۲۷/۰/۶	۵۶۲/۰/۴۵	۱۱/۰/۴	۱۲۹/۰/۹۴	۱۱/۰/۶	۳/۰/۸	۴۸۱/۰/۲	۲۳/۰/۰	۴۰/۰/۴	۰/۰/۷	۱۸/۰/۷۹	۲/۰/۰	-۰/۰/۸	۲/۰/۴۵	-۰/۰/۳	۱/۰/۹۹	-۰/۰/۰	۱/۰/۰	-۰/۱۷	۱/۰/۲۴	-۰/۰/۰	۳/۰/۷	-۰/۰/۰	۱/۰/۰	۱۲/۰/۷۷	۳/۰/۰	
ED182	۱۱۷/۰/۷	۴۶۶/۰/۳۳	۱۲/۰/۲	۱۲۱/۰/۰	۱۰/۰/۳	۳/۰/۶	۴۶۹/۰/۰	۱۸/۰/۶	۴۴/۰/۳۳	۲/۰/۷	۱۴/۰/۲۲	۲/۰/۶	-۰/۰/۷۵	۲/۰/۲۵	-۰/۰/۳۴	۲/۰/۰	-۰/۰/۴۳	۱/۰/۱۵	-۰/۰/۰	۱/۰/۲۲	-۰/۰/۰	۳/۰/۸۲	-۰/۰/۰	۲۱/۰/۵۰	۱۱/۰/۹۳	۲/۰/۰	
ED183	۱۲۰/۰/۳	۴۰۲/۰/۵۳	۱۰/۰/۵	۱۱/۰/۹۲	۱۱/۰/۷	۳/۰/۳	۴۳۹/۰/۲۶	۲۰/۰/۹	۲۲/۰/۴۵	۰/۰/۰	۱۰/۰/۲۷	۲/۰/۰	-۰/۰/۷۱	۱/۰/۰	-۰/۰/۲۸	۱/۰/۰	-۰/۰/۴۵	۱/۰/۱۳	-۰/۰/۰	۱/۰/۰	-۰/۰/۱۹	۳/۰/۲۹	-۰/۰/۰	۱۱/۰/۶۱	۱۰/۰/۹۶	۲/۰/۰	
ED191	۱۱۳/۰/۹	۵۵۰/۰/۴۶	۱۱/۰/۸	۱۳۱/۰/۹۸	۱۰/۰/۹۴	۳/۰/۹	۵۱۱/۰/۲۲	۲۴/۰/۶۷	۴۲/۰/۲۱	۰/۰/۰	۱۶/۰/۳۲	۲/۰/۸	-۰/۰/۸۱	۲/۰/۲۳	-۰/۰/۳۱	۱/۰/۹۸	-۰/۰/۸۸	۱/۰/۱۲	-۰/۰/۰	۱/۰/۴۷	-۰/۰/۰	۳/۰/۷۲	-۰/۰/۰	۱/۰/۰	۱۲/۰/۹۳	۲/۰/۰	
ED192	۱۱۴/۰/۲	۳۹۹/۰/۲۰	۱۲/۰/۵	۱۲۲/۰/۴	۹/۰/۶	۴/۰/۸	۴۶۹/۰/۹	۱۲/۰/۰	۲۱/۰/۶۶	۲/۰/۲۸	۹/۰/۱۹	۲/۰/۰	-۰/۰/۷۲	۲/۰/۳	-۰/۰/۲۲	۰/۰/۰	-۰/۰/۴۳	۱/۰/۳۸	-۰/۰/۰	۳/۰/۵۷	-۰/۰/۰	۱۸/۰/۶۲	۱۲/۰/۱۳	۲/۰/۸۶			
ED193	۱۱۷/۰/۷	۵۱۸/۰/۹۳	۱۷/۰/۷	۱۳۱/۰/۶	۱۰/۰/۷	۳/۰/۴۵	۴۹۵/۰/۲۰	۲۳/۰/۴۴	۴۷/۰/۵۷	۰/۰/۰	۲۱/۰/۱۷	۳/۰/۷	-۰/۰/۹۵	۲/۰/۲۳	-۰/۰/۴۵	۲/۰/۰	-۰/۰/۷۰	۱/۰/۹۱	-۰/۰/۰	۱/۰/۰	-۰/۰/۰	۳/۰/۷۳	-۰/۰/۰	۱/۰/۰	۱۵/۰/۴۲	۱۲/۰/۷۶	۲/۰/۰
ED194	۱۱۶/۰/۶	۵۵۲/۰/۴۰	۹/۰/۷	۱۲۰/۰/۲	۱۰/۰/۹۷	۳/۰/۲	۴۵۲/۰/۷	۲۳/۰/۴۵	۴۱/۰/۰	۰/۰/۲۲	۱۴/۰/۹۳	۲/۰/۶۲	-۰/۰/۷۶	۲/۰/۱۸	-۰/۰/۷۲	۱/۰/۰	-۰/۰/۳۴	۱/۰/۰	-۰/۰/۰	۱/۰/۰	-۰/۰/۰	۳/۰/۵۱	-۰/۰/۰	۱۰/۰/۵۰	۱۲/۰/۱۶	۲/۰/۰	
ED196	۱۹۰/۰/۶	۴۶۰/۰/۶۹	۲۰/۰/۷	۱۳۴/۰/۳	۷/۰/۵	۶/۰/۱	۱۸۰/۰/۴۳	۲۰/۰/۴۳	۴۹/۰/۵۸	۰/۰/۰	۶/۰/۱	۲۰/۰/۰	-۰/۰/۵۱	۲/۰/۰	-۰/۰/۴۸	۱/۰/۱۷	-۰/۰/۵۱	۲/۰/۰	-۰/۰/۰	۰/۰/۰	-۰/۰/۰	۳/۰/۶۶	-۰/۰/۰	۷/۰/۶۴	۹/۰/۳۲	۳/۰/۰	
ED21-2	۲۰/۰/۹۳	۱۲۵/۰/۵۹	۷/۰/۹	۱۲۲/۰/۲۹	۱۴/۰/۴۶	۴/۰/																					



شکل ۵ جانمایی نمونه ها در الف: نمودار R1-R2 [۱۸] که باسas آن، نمونه ED108 مافیکترین و بازیکترین نمونه بوده که میزان نفوذ توده گرانودیوریتی است. ب: نمودار K_2O/SiO_2 نسبت به K_2O که نشان دهنده ماهیت کلسیمی-قلیایی غنی از پتاسیم نمونه هاست [۲۰]. پ: نمودار $A/CNK-A/NK$ [۲۲] که نشان دهنده کلسیمی-قلیایی بودن همه نمونه هاست. ت: نمودار اصلاح شده $A/CNK-A/NK$ - A/NK که همه نمونه های ریولیتی در گستره پرآلومین، گرانودیوریتی متآلومین-پرآلومین و همه نمونه های دیوریتی متآلومین هستند. مثلث سبز کوچک نشانگر دیوریت، مثلث های سیاه بزرگتر داده های دیوریتی مرتع [۱۱]، مربع قرمز گرانودیوریت و لوزی های آبی توخالی نمونه های ریولیتی هستند.

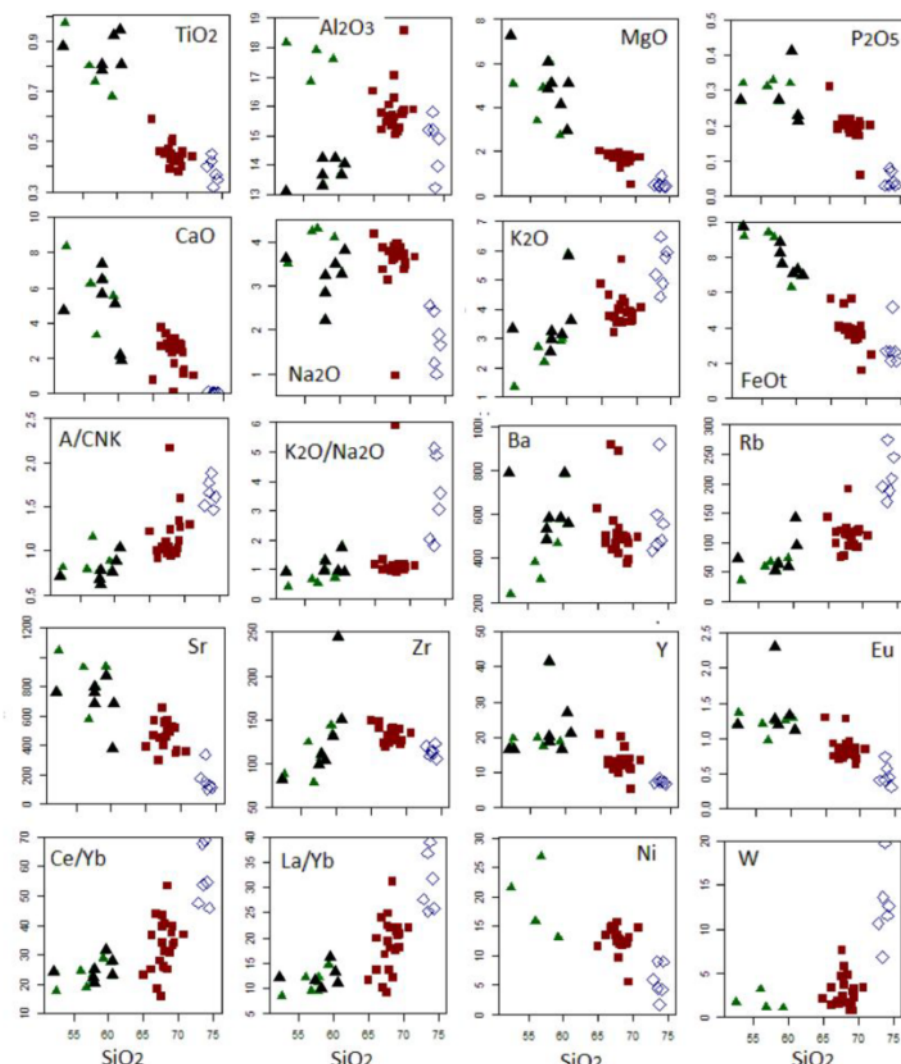
نمودارهای هارکر (عناصر اصلی و فرعی): بر اساس نمودارهای همبستگی اکسیدهای اصلی با مقدار SiO_2 [۱۷]، رابطه زیشی معناداری بین سنگهای متفاوت وجود دارد (شکل ۶). بر اساس این نمودارها، با افزایش مقدار SiO_2 , TiO_2 , Al_2O_3 , P_2O_5 و CaO و تا اندازه ای MgO کاهش می یابد. از طرف دیگر با افزایش SiO_2 ، مقدار K_2O افزایش می یابد و رفتار Na_2O رفتاری کاهشی ولی بی نظم است. با افزایش SiO_2 ، عناصر Sr , Ni , Eu , Yb و تا اندازه ای Ba کاهش نشان می دهند. از طرفی با افزایش SiO_2 ، عناصر Y

دلیل نامگذاری گنبد با نام ریولیت و نه گرانیت، به دلیل ریزلولور بودن سنگ است [۱۹] و به معنای خروجی بودن این سنگ ها نیست. نام دیوریت نیز معرف بیشتر رخمنون های این توده های کوچک مافیک بوده و از گابرو-دیوریت تا مونزونیت با تمرکز بیشتر بر دیوریت در تغییر است. توده ها در گستره آهکی-قلیایی و بیشتر در گستره آهکی-قلیایی غنی از پتاسیم، پرآلومین (ریولیت ها و بخشی از گرانودیوریت ها) و در متآلومین (بخشی از گرانودیوریت ها و دیوریت ها) قرار دارند [۲۰-۲۲].

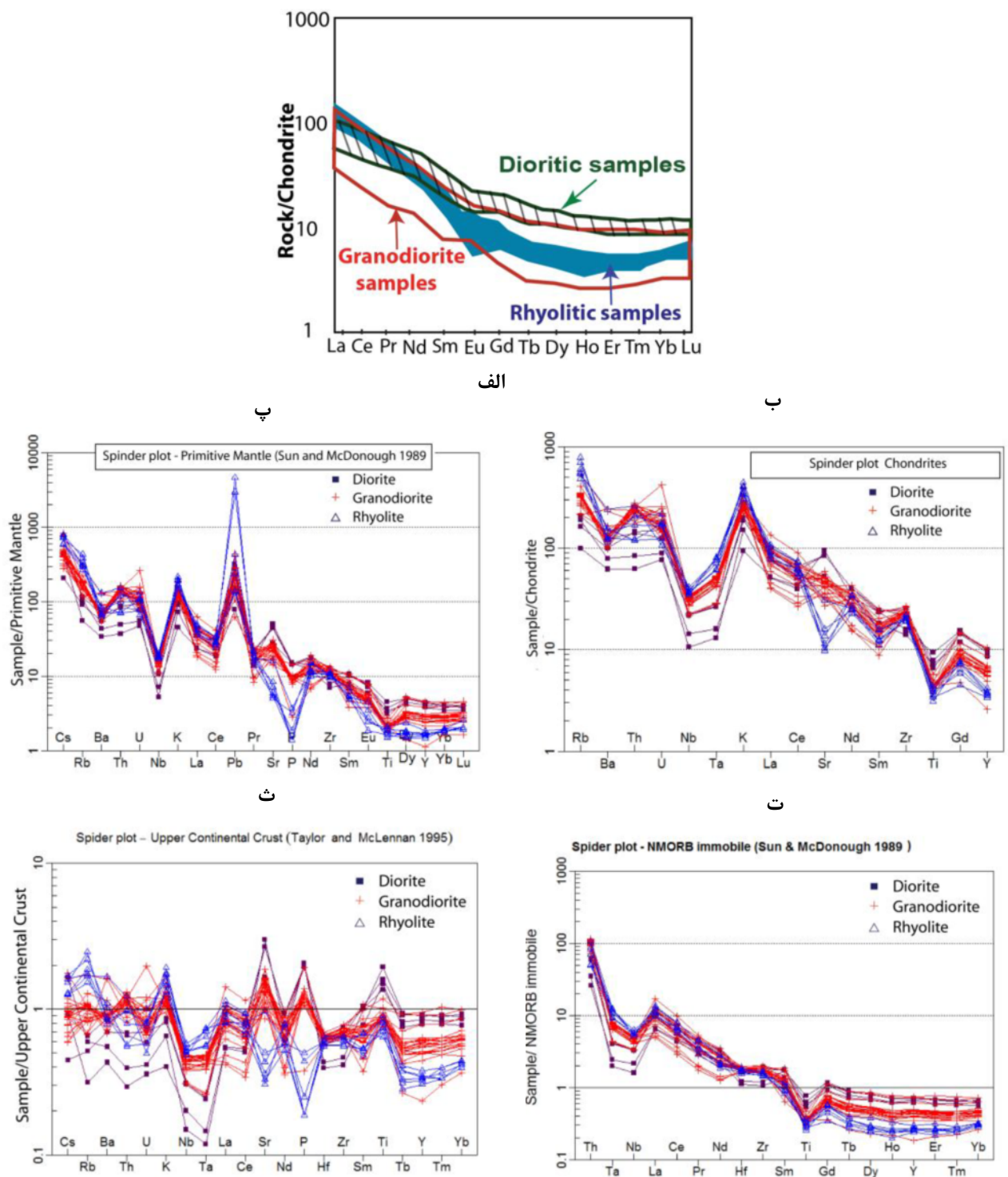
شاخصی و عناصر Ti, Nb, Ta در TNT تهی شدگی دارند و در ریولیت ناهنجاری منفی و در بیشتر دیوریت‌ها ناهنجاری مثبت نشان می‌دهد. بیشترین غنی شدگی K و Rb و بیشترین تهی شدگی Ti در نمونه‌های ریولیتی دیده می‌شود. در مقایسه، عناصر خاکی نادر با کندریت [۲۳]، غنی شدگی قابل توجهی در LREE و غنی شدگی جزئی در MREE دیده می‌شود. نسبت مقدار $La(N)/Yb(N)$ (جدول ۴) نشان می‌دهد که بیشترین جدایش REE‌ها مربوط به ریولیت و کمترین آن مربوط به دیوریت است. گرانودیوریت غنی شدگی مشخصی در LREE دارد، به ویژه در نمونه ED37 که دارای بیشترین مقدار $Eu/Yb(N)$ (۱۵۷، ۷۱) است. نسبت‌های $La(N)/Sm(N)$ و $Eu/Yb(N)$ غنی شدگی نسبی LREE به عناصر خاکی نادر متوسط HREE و MREE (جدول ۴) نشان می‌دهند.

A/CNK و نسبت‌های $Rb, W, La/Yb, Ce/Yb, K_2O/Na_2O$ افزایش چشمگیری نشان می‌دهند. رفتار باریم افزایشی ولی با الگویی نامنظم است. رفتار زیرکونیوم نسبت به تغییرات SiO_2 الگویی منحنی را نشان می‌دهد. عناصر خاکی نادر سبک (LREE) و (Ce) (Ce) تا اندازه‌ای ناسازگار و عناصر خاکی نادر سنگین (HREE) رفتاری سازگار دارند و با افزایش SiO_2 ، کاهش نشان می‌دهند. علت این تغییرات در ادامه توضیح داده می‌شود.

نمودارهای عنکبوتی عناصر فرعی و خاکی نادر به هنجارسازی نمونه‌ها بر اساس میانگین کندریت، گوشته اولیه و میانگین پوسته قاره‌ای بالایی (شکل ۷) نشان داده شده است. بهنجارسازی نمونه‌ها به کندریت [۲۴، ۲۳] نشان می‌دهد که نمونه‌ها در بیشتر عناصر به ویژه Rb, K و U غنی شدگی



شکل ۶ نمودارهای عنکبوتی عناصر فرعی (K_2O/Na_2O , A/CNK, FeO_t , K_2O , Na_2O , CaO , P_2O_5 , MgO , Al_2O_3 , TiO_2 , SiO_2) (به درصد) و عناصر فرعی (Zr , Y , Eu , Ce/Yb , La/Yb , Ni , W) نشانه‌ها شیبیه شکل ۵ هستند.



شکل ۷ نمودارهای عنکبوتی (الف) عناصر خاکی نادر نمونه‌های مورد بررسی بهنجار شده به کندریت [۲۳]، ب- عناصر خاکی نادر و فرعی بهنجار شده به کندریت [۲۴]، پ: عناصر خاکی نادر و فرعی بهنجار شده به گوشته اولیه [۲۴]، ت- عناصر غیرمحرك بهنجار شده به میانگین بازالت-های پشتنهای میان اقیانوسی عادی (NMORB)، د- عناصر بهنجار شده به میانگین پوسته قاره‌ای بالایی [۲۵]. مثلثهای آبی نشانگر ریولیت، مریع‌های مشکی، دیوریت‌ها و علامت جمع قرمز گرانودیوریت هستند. D=Diorite, GD=Granodiorite, R=Rhyolite.

جدول ۴ شاخص های زمین شیمیایی مهم سه توده مورد بررسی، داده های عناصر خاکی نادر به کندریت [۲۳] به هنجار شده اند.

ویژگی های زمین شیمیایی	دیوریت	گرانودیوریت	ریولیت
SiO ₂ محدوده	۵۲,۵۹-۵۳,۵۲	۷۴,۷۰-۹۷,۶۴	۳۵,۷۴-۸۱,۷۲
saturation index Aluminum = ASI	۰,۱-۹۳,۰	۵۵,۱-۹۶,۰	۵۲,۱-۱۹,۱
ANK	۵۱,۲-۷,۱	۲۰,۲-۳۴,۱	۹۱,۱-۴۹,۱
ACNK	۸۸,۰-۷۹,۰	۱۷۲-۹۲,۰	۱۹,۱-۴۷,۱
D.I. ضریب تفیق	۶۲-۴۲	۸۴-۷۲	۹۱-۸۵
FeO/FeO _t +MgO	۷۱,۰-۶۲,۰	۸,۰-۵۶,۰	۸۵,۰-۷۹,۰
REEs (ppm)	۱۳۰-۷,۹۴	۷,۱۵۷-۵۶	۱۳۰-۹۱
Eu/Eu* (N)	۹۵,۰-۸۵,۰	۲۹,۱-۸,۰	۰,۴,۱-۵,۰
(N) La/Yb	۱۵,۸-۶,۵	۹,۲۰-۰,۳۶	۰,۳۲۶-۸۴,۱۶
La/Sm (N)	۷,۳-۲,۲	۷۸,۷-۴۶,۳	۶,۷-۲,۶
Eu/Yb (N)	۹,۱-۶,۱	۲۵,۲-۴۲,۱	۲,۲-۹۵,۰

برداشت

براساس داده ها، دگرگونی های ماقمایی از قدیم به جدید به صورت زیر رخ داده است. سنگ های آتشفسانی با ترکیب آندزیت، تراکی آندزیت و پیروکسن آندزیت با سرشت آهکی قلیایی پتاسیم بالا و پرآلومین در مرز انومن پیشین-میانی ($47,5 \pm 2,4$ میلیون سال) [۱۲] تشکیل شده اند. توده های حدواسط تیره رنگ دیوریتی (از گابرو دیوریت، دیوریت، مونزونیت و مونزونودیوریت تاکوارتر دیوریت با بافت ریز بلور و گاهی شبه پورفیری) با سرشت آهکی قلیایی و متاآلومین در این رخساره ها نفوذ کرده اند. توده نیمه عمیق و گاهی عمیق با ترکیب کلی گرانودیوریت، با سرشت آهکی قلیایی پتاسیم بالا و متاآلومین تا کمی پرآلومین به سن لوتسین $44,37 \pm 0,57$ میلیون سال (ائوسن میانی-لوتسین) [۱۱] و $43 \pm 1,3$ میلیون سال [۱۲] توده های دیوریتی را قطع کرده اند. در آخرین مرحله، توده ریولیتی جدایش یافته (آهکی قلیایی پتاسیم بالا و پرآلومین)، به صورت گنبدی در توده گرانودیوریتی نفوذ کرده و در کنار توده گرانودیوریتی میزان کانی سازی فیروزه است. توده های ریولیتی جوانتر از ائوسن پسین (۳۸ میلیون سال) هستند و با توجه به پوشیده شدن آخرین جلوه های ماقمایی منطقه توسط مارن ها و ماسه سنگ های میوسن [۴]، سن نسبی جایگیری این گنبد ائوسن پسین تا پایان الیگوسن در نظر گرفته می شود. دایک های دیوریتی ریز بلور تیره به سن $38 \pm 0,9$ میلیون سال [۱۲] آخرین جلوه های ماقمایی منطقه هستند. گفتنی است که گروهی از پژوهشگران [۱۱] بر اساس داده های سن سنجی، دیوریت ها را آخرین و جوانترین توده منطقه به سن $39,78 \pm 0,73$ میلیون سال (ائوسن میانی-بارتونین) می دانند، ولی بر پایه این پژوهش و شواهد صحرایی، این توده قدیمی ترین توده نفوذی منطقه است. اختلاف سن به دست آمده (۳۹,۷۸ $\pm 0,73$ میلیون سال) با شواهد صحرایی و شباهت بسیار آن با سن دایک های دیوریتی به سن $38 \pm 0,87$ میلیون سال

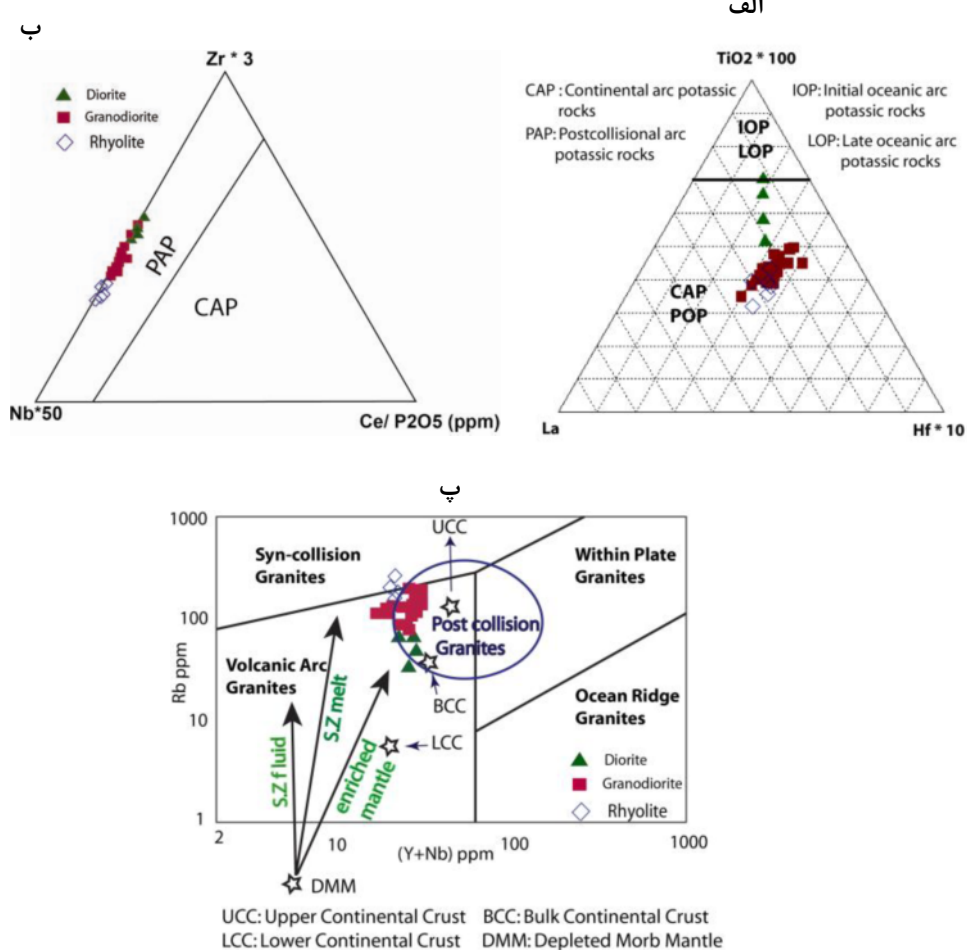
در کنار شباهت بسیار الگوهای REE توده ها، نمونه های ریولیتی تفاوت آشکاری در Eu/Eu* با دیگر نمونه ها نشان می دهند. همه نمونه های ریولیتی ناهنجاری منفی در Eu نشان می دهند و مقدار کلی MREE و HREE آنها کمتر از نمونه های گرانودیوریت و دیوریت است. بهنجار سازی بر اساس گوشه اولیه [۲۴] (شکل ۷ پ)، نیز نشان از تهی شدگی P و غنی شدگی شدید U Pb, Cs, Rb, Ba, Th دارد. برای عناصر بهنجار شده نسبت به بازالت های پشتہ های میان اقیانوسی (MORB) [۲۴]، تهی شدگی مشخصی در Nb و در نمونه های TNT نیز در این مقایسه تایید می شود. تهی شدگی K و Pb دیده می شود (شکل ۷ ت). تهی شدگی شدید در Nb و Ta در مقایسه با میانگین پوسته قاره ای بالایی نیز در شکل ۷ دیده می شود [۲۵]. غنی شدگی P در گرانودیوریت و دیوریت و تهی شدگی شدید در ریولیت ها مشهود است. علت این تغییرات در ادامه بیان می شود.

محیط زمین ساختی: در نمودار سه گوش $TiO_2^{*}100-La-Hf^{*}10$ [۲۶] (شکل های ۸ الف) که برای تعیین محیط زمین ساختی سنگ های پتاسیک کاربرد بسیار دارد، همه نمونه ها در گستره پس برخورده و کرانه فعال قاره ای قرار داشته و براساس نمودار سه گوش $Zr^{*}3-Nb^{*}50-CeP2O5$ (شکل ۸ ب)، همه نمونه ها در گستره پس برخورده در گستره پس برخورده قرار دارند (شکل ۸ ب). در نمودار اصلاح شده مرجع [۲۷]، بیشتر نمونه ها در گستره پس از برخوردهای دارند (۸ پ). افزون بر این، به دلیل نسبت بالای LREE / HREE و ناهنجاری منفی در Ti, Nb, Ta و ویژگی های زمین شیمیایی محیط های فرورانش نیز دیده می شود [۲۸]. این تناقض در ادامه توضیح داده می شود.

برخی از نمونه های ریولیتی و گرانودیوریتی در نمودار مرجع [۲۷]، در گستره کرانه فعال قاره ای و یا همزمان با برخورد قرار می گیرند. در صورت چشم پوشی از خطاهای همپوشانی همیشگی منحنی های زمین شیمیایی برای تعیین محیط زمین ساختی، در باید انتظار وجود ماقماهای نوع S و دیده باقیمانده های ذوب سنگ های دگرگون شده، میگماتیت، افیولیت و آثار بزرگ مقیاس برخورد را در این کمان داشته باشیم که این نشانه ها نه فقط در کمان ترود چاه شیرین بلکه در کمان های مشابه آن در جنوب، غرب و شرق این کمان دیده نمی شود. در کمان ماقمایی ترود چاه شیرین، از ژوراسیک تا آغاز ائوسن هیچ فعالیت ماقمایی گزارش نشده است. در زمان فرورانش پوسته اقیانوس ترتیس جوان به زیر اوراسیا و ایران مرکزی، این کمان در فالصه حدودی ۵۰۰ کیلومتری از آن واقع شده بود و هیچ فعالیت ماقمایی از آن زمان در این کمان گزارش نشده است.

میلیون سال [۱۲]، به احتمال بسیار به دلیل نمونه برداری از دایک دیوریتی توسط روحبخش و همکاران [۱۱] و ربط آن به توده های دیوریتی باشد.

در بحث تعیین جایگاه زمین ساختی ماقمایی، چنان که گفته شد نمودارهای $\text{Zr}^*3\text{-Nb}^*50\text{-TiO}_2^*100\text{-La-Hf}^*10$ ، $\text{Ce}/\text{P}_2\text{O}_5$ و $\text{Rb}/\text{Y}+\text{Nb}$ نشان دهنده محیط پس برخوردی است، ولی از طرفی ناهنجاری منفی در Ti و Ta [۲۸]، BA ، Th به LREE و U و Pb و Rb و نسبت کم Nb/U (نسبت به گوشه اولیه و کندریت) نشان از تأثیر فرورانش بر تشکیل ماقمایت است. این امر نشان دهنده نقش مؤثر فرورانش به صورت دگرنهاده نمودن گوه گوشه های توسط سیال های آزاد شده از ورقه فرورونده اقیانوسی است [۳۰-۲۷].



شکل ۸ نمودارهای تعیین محیط زمین ساختی بر اساس عناصر. الف: نمودار سه گوش $\text{TiO}_2^*100\text{-La-Hf}^*10$ (همه به گرم بر تن) ویژه سنگ های غنی از پتاسیم [۲۶] که براساس آن، همه نمونه ها در گستره پس برخوردی و کرانه فعال قاره ای جای دارند. ب: نمودار سه گوش $\text{Zr}^*3\text{-Nb}^*50\text{-Ce}/\text{P}_2\text{O}_5$ (گرم بر تن)، ویژه سنگ های غنی از پتاسیم [۲۶] که براساس آن، همه نمونه ها در گستره پس برخوردی جای دارند. پ: نمودار اصلاح شده مرجع [۲۷] که براساس آن بیشتر نمونه ها در گستره پس از برخورد (بیضی آبی) قرار دارند.

است و شواهد سنگنگاری نیز این امر را تایید می‌نماید. تبلور جدایشی هورنبلند رخ داده است و می‌تواند یکی از عوامل ناهنجاری منفی Ti و Y باشد. پلاژیوکلاز کلسیک در مراحل اولیه تشکیل شده است و جدایش آن سبب ناهنجاری منفی Eu در ریولیت‌ها، ناهنجاری منفی Sr در ریولیت‌ها و برخی از نمونه‌های جدایش یافته تر گرانودیوریت‌ها، کاهش شدید Ca در ریولیت‌ها و پرآلومین شدن آنها شده است. البته دگرسانی حتی در مراحل ضعیف می‌تواند سبب تهی شدگی Sr شود [۳۲]. افزایش مقدار K_2O با افزایش SiO_2 روندی عادی در SiO_2 جدایش ماقما است و رفتار زیرکنیوم نسبت به تغییرات الگوی زنگوله‌ای شکل دارد که نشانگر افزایش زیرکونیوم در ماقماهای حدواسط‌تر است. در ماقماهای گابرویی- دیوریتی، مقدار عنصر زیرکونیوم به حدی نیست که کانی مستقل بسازد، بلکه در شبکه کانی‌های پیش‌زاد وارد می‌شوند. این در حالی است که در ماقماهای حدواسط گرانودیوریتی، زیرکن به صورت کانی مستقل تشکیل شده و در روند جدایش از ماقما جداشده و از این رو در ماقماهای ریولیتی بسیار کاهش یافته است. شواهد زمین‌شیمیایی چون تهی شدگی از Sr , Ti , Nb , $LREE/HREE$ بودن Sm و Ce و نسبت به عناصر کنار خود در نمودارهای عنکبوتی ریولیت‌ها، غنی‌شدگی Rb و Th نسبت به Nb و Ta , کاهش مقدار عناصر از Rb تا Yb در نمودارهای عنکبوتی همه نمونه‌های ریولیت، غنی‌شدگی Rb , Pb , Ba , Rb , K , U , Th , Pb , Rb و Sm رفتار افزایشی ولی بی‌نظم باریم نسبت به SiO_2 در نمودارهای هارکر، نشان می‌دهد که دخالت و مشارکت پوسته قاره‌ای [۳۳] در تشکیل ماقماهای ریولیتی و به مقدار کمتر در تشکیل ماقماهای گرانودیوریتی پرآلومین جدایش یافته‌تر نقش مهمی داشته است.

بر اساس ویژگی‌های صحرایی، سنگنگاری و زمین‌شیمیایی، توده‌های گرانودیوریتی و ریولیتی در گستره گرانیت‌های گرانیت‌وئید آهکی قلیایی غنی از پتابسیم (KCG) قرار دارند [۳۴]. تفاوت زمین‌شیمیایی نمونه‌های مورد بررسی با گرانیت KCG, پرآلومین بودن (ضعیف تا متوسط) نمونه‌ها و مقدار FeO_t/FeO_t+MgO بالاتر است که هر دو با جدایش بلوری گستردۀ کانی‌های منیزیم‌دار و پلاژیوکلاز کلسیک (کاهش شدید Ca در نمونه‌های جدایش شده) قابل توجیه است (جدول ۵). بر اساس نظر کاسترو و همکاران [۳۵, ۳۶] نیز،

پس از پایان فروراش و در زمان برخورد در کرتاسه پسین-پالئوسن پیشین، نیز نشانه‌ای از فعالیت ماقماهی و حتی رسوب گذاری دیده نمی‌شود، زیرا این بخش از ایران مرکزی خارج از آب بوده و آثار فشارشی در سراسر پالئوسن در این کمان گزارش شده است [۱۳]. از این رو بر اساس شواهد زمین‌شناصی و زمین‌شیمیایی، محیط زمین‌ساختی کرانه فعال قاره‌ای (مشابه آند) و همزمان با برخورد تایید نمی‌شوند و بهترین گزینه نسبت دادن این گرانیت‌وئیدها به فرآیندهای پس از بسته‌شدن و برخورد آخر اقیانوس تیسیس جوان است. روش است که کشش‌های ناشی از گسل‌های تراکششی و ایجاد حوضه‌های کششی-جدایشی گسل‌های ترود در جنوب و گسل رباعی-کوه زر در شمال کمان [۸, ۱۳]، طی ائوسن و الیگوسن نقش مهمی در تشکیل ماقما از گوشته دگرنهاده داشته است. بر اساس داده‌ها، می‌توان گفت که ماقماهی اولیه در اثر ذوب بخشی خاستگاه گوشت‌های اسپینل فلوگوپیت لرزولیتی [۱۱] تشکیل شده است. در کنار این امر و بر اساس بازدهی‌های صحرایی (برونبوم‌های مافیک درون گرانودیوریت‌ها با مرزهای دندانه‌دار، درشت بلورهای پلاژیوکلاز گرانودیوریتی در برونبوم‌های مافیک [۳۱]، بررسی‌های میکروسکوپی، زمین‌شیمیایی و داده‌های پیشین [۸-۱۰]، پدیده آمیختگی ماقماهی نقش مهمی در تشکیل ماقماهای گرانودیوریتی داشته است. از طرفی، فرآیندهای هضم و تبلور جدایشی (AFC) نیز نقش بسیار مهمی در شکل‌گیری ماقما داشته‌اند به طوریکه ماقما ریولیتی، که در پژوهش‌های پیشین به آن پرداخته نشده است، در اثر جدایش ماقماهای گرانودیوریتی و آلایش و هضم پوسته تشکیل شده است. نسبت بالای Ce/Yb در ریولیت‌ها [۶/۶-۷/۵] نشانگر جدایش شدید در ماقما زاینده این سنگ-هاست. الگوی مسطح $HREE/Eu/Yb$ و $HREE$ در ریولیت شده پایین در هر سه توده (۰/۹۵ در ریولیت تا ۲/۲۵ در برخی از گرانودیوریت‌ها) نشانگر تشکیل مذاب در عمقی است که گارنت پایدار نیست. بر اساس تفسیر نمودارهای هارکر [۱۷]، طی صعود ماقما، کانی‌های الیوین، پلاژیوکلاز کلسیک، کلینوپیروکسن از ماقماهای حدواسط- مافیک و آپاتیت و هورنبلند از ماقماهای حدواسط گرانودیوریتی جداشده‌اند. ناهنجاری شدید منفی P در نمونه‌های ریولیتی و ناهنجاری منفی متوسط در گرانودیوریت‌ها به دلیل جدایش آپاتیت است. فلدسپات پتابسیم تا مراحل پایانی تشکیل ماقما حضور داشته

در این مدل تشکیل، فرآیندهای AFC نیز طی صعود ماقما در نقش بسیار مهمی در تغییر زمین شیمی ماقما دارند [۴۰، ۳۸، ۴۱]. در مناطق و رژیم های هم زمان تا پس از برخورد، ذوب بخشی سنگ های آبدار آهکی قلیایی مافیک تا حد واسط دگرگون شده پوسته ای قدیمی (به جز متابازالت و متاگابرو) می تواند گرانودیبوریت های آهکی قلیایی غنی از پتاسیم نوع I را به وجود آورد [۳۹]. وجود هم زمان ویژگی های زمین شیمی ای گوشته ای و پوسته ای نشان از آمیختگی مذاب گوشته ای با سنگ های پوسته ای و فرآیند AFC (مدل نخست) دارد. بر این اساس و حتمی بودن شواهد آمیختگی که در بالا به آن اشاره شد، مدل آمیختگی AFC (AFC) [۴۲، ۴۲] می تواند مدلی مناسب برای تشکیل ماقما های دورگه در محیط پس برخورده باشد. ماقمای مادر از ذوب بخشی گوشته ای اسپینل لرزولیتی تشکیل شده که پیشتر در اثر آبزدایی ورقه فرورونده اقیانوس تیس جوان دگرنهاده شده است.

ماقمای زاپنده گرانودیبوریت ها، دورگه و از نوع H است. سنگ برآمده از این نوع دورگه شدگی ویژگی های گرانیت S یا گرانیت گوشته ای M را نشان نمی دهد، کانی های آلمونیوم دار مانند سیلیمانیت و کردیریت وجود ندارد، سرشار از برونبوهم های مافیک هستند و منطقه بندی پیچیده یا معکوس و نشانه های باز جذب در پلازیوکلازها را به خوبی نشان می دهند [۱۳، ۳۴، ۳۷]. بررسی های ویژگی های صحرایی، میکروسکوپی و زمین شیمی ای برونبوهم های موجود در توده های نفوذی منطقه نشان داده است که برونبوهم های ماقمایی، هم خاستگاه با سنگ میزان و نشانه آمیختگی ماقمایی ماقمای اسیدی - حد واسط با ماقمایی مافیک است [۹]. بر اساس نظر برخی پژوهشگران [۴۰-۴۲]، فرآیند تشکیل دهنده ماقمای گرانودیبوریتی محیط های همگرای مربوط به فرورانش در اثر یکی از دو فرآیند AFC یا ذوب پوسته است. فرآیند AFC در مناطق کمان های قاره ای مذاب از گوشته ای به وجود می آید که خود پیشتر توسط سیال ها و مذاب های برآمده از ورقه فرورونده دگرنهاده شده اند.

جدول ۵ مقایسه ویژگی های گرانودیبوریت ها و ریولیت ها با انواع گرانیت ویژدهای [۳۴] Bararin 1999

منبع	Bararin 1999							پژوهش حاضر
حروف اختصاری	MPG	CPG	KCG	ACG	RTG	PAG	GD	R
نوع سنگ	muscovite-bearing peraluminous granitoids	cordierite-bearing and biotite-rich peraluminous granitoid	K-rich porphyritic calc-alkaline granitoids	Amphibole-rich calc-alkaline granitoids	arc tholeiitic granitoids	peralkaline and alkaline granitoids	k-rich porphyritic CA granodiorite	K-rich porphyritic CA rhyolite
اندیس آلومینیوم	A > CNK			CNK > A > NK		A ≤ NK	A>CNK A<CNK	A>CNK
A/CNK	1≥			1<		alkaline	۶۴/۱ - ۹۴/۰	۵۱/۱ - ۱۸/۱
FeOt / (FeOt+MgO)	۸/۰<		۰/۱ - ۸/۰	۸/۰<	۸/۰>	۸/۰>	۰/۲/۳-۴۲/۱	۸۸/۱-۴۱/۱
سنگ های همراه								
دگرگونی	-	آناتکسی و میگماتیت	-	-	-	-	-	-
آتششانی	-	-	گدازه اسیدی و توف	آندزیت و داسیت	توله ایت	گدازه های آکالان	گدازه های اسیدی تا حد واسط	توف
توده های مافیک و حد واسط	-	کوارتز دیبوریت	کوارتز دیبوریت و گابرو	گابرو (فراوان)	گابرو (فراوان)	گابرو (فراوان)	کوارتز دیبوریت و دیبوریت	
آنکلواهای مافیک	-	کم	متوسط	زیاد	زیاد	کم	زیاد	-
منشأ ماقما	پوسته	پوسته (گوشته)	پوسته و گوشته	پوسته (پوسته)	گوشته	گوشته	پوسته و گوشته (گوشته)	
محیط ژئodynamیکی	برخوردی	برخوردی	بالا آمدگی پس برخوردی، رهایش پوسته قاره ای	حاشه فعال قاره ای		باشدگی و ریفت اقیانوسی و قاره ای	پس برخوردی	پس از کوهزایی

- [8] Ghorbani Gh., *Petrology of magmatic rocks from south of Damghan*, Unpublished Ph.D thesis in geology/petrology, Faculty of earth science, Shahid Beheshti University, (2005) 356 p
- [9] Ghorbani G., *Chemical composition of minerals and genesis of mafic microgranular enclaves in intermediate - acidic plutonic rocks from Kuh-e-Zar area (southeast of Semnan)*, Iranian Journal of Crystallography and Mineralogy 15-2 (2007) 293-310, (in Persian).
- [10] Ghorbani G., Vossoughi Abedini M., Ghasemi H., *Geothermobarometry of granitoids from Torud-Chah shirin area (south Damghan)*, Iranian Journal of Crystallography and Mineralogy 13-1 (2005) 95-106, (in Persian).
- [11] Rouhbakhsh P., Karimpour M.H., Malekzadeh Shafaroudi A., *Mineralization and fluid inclusion studies in the northern part of the Kuh Zar Au-Cu deposit, Damghan (Firuzeh-Gheychi area)*, Iranian Journal of Crystallography and Mineralogy 26-3 (2018) 611-624, (in Persian).
- [12] Niroomand S., Hassanzadeh J., Tajeddin H.A., Asadi S., *Hydrothermal evolution and isotope studies of the Baghu intrusion-related gold deposit, Semnan province, north central Iran*, Ore Geology Reviews, 95, (2018) 1028–1048.
- [13] Khademi M., *Structural characteristics and tectonic setting of Toroud area, south of Damghan*, Unpublished Ph.D thesis in Tectonic, Shahid Beheshti University, Tehran, (2007) 209 pp.
- [14] Moradi S., Hassannejad A.K., Ghorbani G., *Investigation of mineralogy and geothermometry of quartz and tourmaline veins at the Baghu area, southeast of Damghan*, Iranian Journal of Crystallography and Mineralogy 24-4 (2017) 661-674, (in Persian).
- [15] Taghipour B., *Tourmaline-turquoise paragenesis in the phyllitic alteration zone, copper-gold deposit, Kuh-Zar, South of Semnan*, Iranian Journal of Crystallography and Mineralogy. 23-1(2015) 3-14.
- [16] Whitney D.L., Evans B.W., *Abbreviations for names of rock-forming minerals*, American Mineralogist, 95, (2010) 185–187.

قدرتانی

نویسنده‌گان سپاس بی‌کران را نثار پرسور لوکاس بومگارتنر می‌نمایند که شرایط فرصت مطالعاتی نویسنده اول را در دانشگاه لوزان کشور سوئیس فراهم نمود. آنها از دکتر بنیتا پوتلیتز، دکتر الکسی ایلیانوو، دکتر الیور روی در همان دانشگاه نیز سپاسگزار هستند. همچنین از شرکت طلای ایران و مدیر عامل آن آقای مهندس نقشینه، برای در اختیار گذاشتن کمپ و امکان نمونه‌برداری، از دانشگاه تبریز برای تسهیل شرایط اعزام به فرصت مطالعاتی نویسنده اول به کشور سوئیس نیز سپاسگزاری می‌شود. نویسنده‌گان همچنین قدردان داوران محترم برای نظرها و داوری‌های گرانقدرشان هستند.

مراجع

- [1] Heidari SM., Mossavi Makooi SA., Mirzakhanian M., Rasoli F., Ghaderi M., Abadi AR., *A review of tectono-magmatic evolution and gold metallogeny in the inner parts of Zagros orogeny:a tectonic model for the major gold deposits, W Iran*, Eurasian Mining, 1(2006) 3-20.
- [2] Hushmandzadeh A., Alavi-Naini M., Haghipour A., *Geological evolution of Torud area with 1:250000 scale map of Torud*, Tehran, (1978), Geological Survey of Iran (in Persian).
- [3] Aghanabati A., *Geology of Iran*, Geological survey of Iran, (2004), ISBN: 9646178138 (in Persian).
- [4] Eshraghi S.A., Jalali. A, *Geological map of Moalleman*, 1:100,000 ,Geological (2006), Survey of Iran.
- [5] Liaghat S., Sheykhi V., Najjaran M., *Petrology, gheochemistry and genesis of Baghu turquoise, Damghan*, Journal of Science, University of Tehran, (2008)133-142, (in Persian).
- [6] Najjaran M., *Geochemistry and genesis of Baghu turquoise deposit (Damghan)*, M.Sc. Thesis, Shiraz University, Shiraz, Iran, (2000)150 pp, (in Persian).
- [7] Rashid Nejad Omran N., *Petrography and magmatic changes study and Relationship with Au mineralization in Baghu area, (S-SE of Damghan)*, M.Sc. Thesis, Tarbiat Moallem University, Tehran, Iran, (1993) 256 pp, (in Persian).

- Earth and Planetary Science Letters 226 (2004) 415 – 432.
- [29] Walker J.A., Patino L.C., Carr M.J., Feigenson M.D., *Slab control over HFSE depletions in central Nicaragua*, Earth and Planetary Science Letters, 192 (2001) 533-543.
- [30] Wilson M., *Igneous petrogenetic*, Chapman & Hall, (1989) 466p.
- [31] Perugini D., Poli G., *The mixing of magmas in plutonic and volcanic environments: Analogies and differences*, Lithos, (2012), DOI: 10.1016/j.lithos.2012.02.002.
- [32] Nesbitt H.W., Markovics G., Price R.C., *Chemical processes affecting alkalis and alkaline earths during continental weathering*, Geochim. Cosmochim. Acta 44 (1980) 1659–1666.
- [33] Rolinson H.R., *Using geochemical data: Evaluation, presentation, interpretation*, Longman Scientific and Technical, London (1993).
- [34] Barbarin B., *A review of the relationships between granitoid types, their origins and their geodynamic environments*, Lithos 46 (1999) 605–626.
- [35] Castro A., Moreno-Ventas I, de la Rosa J.D., *H-type (hybrid) granitoids: a proposed revision of the granite-type classification and nomenclature*, Earth Science Review, 31(1991) 237-253.
- [36] Castro A., PatinÃ o Douce A.E., Guillermo Corretge Â.L., de la Rosa J.D., Mohammed El-Biad M., El-Hmidi h., *Origin of peraluminous granites and granodiorites, Iberian massif, Spain: an experimental test of granite petrogenesis*, Contrib Mineral Petrol , 135(1999) 255-276.
- [37] Sverrisdottir G., *Hybrid magma generation preceding Plinian silicic eruptions at Hekla, Iceland: Evidence from mineralogy and chemistry of two zoned deposits*, Geological Magazine. 144-4 (2007) 643–659.
- [38] Li J.Y., Niu Y.L., Hu Y., Chen S., Zhang Y., Duan M., Sun P., *Origin of the late Early Cretaceous granodiorite and associated dioritic dikes in the Hongqilafu pluton, northwestern Tibetan Plateau:a case for crust-mantle interaction*. Lithos, 260 (2016) 300-314.
- [17] Harker A., *The natural history of igneous rocks*. Methuen and Co. London (1909).
- [18] De La Roche H., Leterrier J., Grandclaude P., Marchal M., *A classification of volcanic and plutonic rocks using R1R2-diagram and major-element analyses — Its relationships with current nomenclature*, Chemical Geology, 29 (1980) 183-210.
- [19] Gillespie M.R., Styles M.T., *BGS rock classification scheme, V:1, Classification of Igneous rocks*, British Geological Survey Research Report, 2nd edition, RR 9606.
- [20] Peccerillo A., Taylor S. R., *Geochemistry of Eocene calc-alkaline volcanic rocks from the Kastamonu area, Northern Turkey*, Contrib. Mineral. Petrol. 58 (1976) 63-81.
- [21] Irvine T.N., Baragar W.R.A. *A guide chemical classification of the common volcanic rock*, Canada J. Earth Sci. 8 (1971) 523–548
- [22] Shand Eruptive Rocks. John Wiley & Sons, (1943).
- [23] Nakamura N., *Determination of REE, Ba, Fe, Mg, Na and K in carbonaceous and ordinary chondrites*, Geochimica et Cosmochimica Acta 38, no. 5 (1974) 757-775.
- [24] Sun S.S., McDonough W.F., *Chemical and isotopic systematics of oceanic basalts: Implications for mantle composition and processes*, Geological Society of London, No. 42-1 (1989) 313-345.
- [25] Taylor S.R., McLennan S.M., *The Continental Crust: Its Composition and Evolution: An Examination of the Geochemical Record Preserved in Sedimentary Rocks*, Oxford, Blackwell Scientific, (1985) 312 p.
- [26] Müller D., Rock NMS., Groves D.I., *Geochemical discrimination between shoshonitic and potassic volcanic rocks in different tectonic settings: A pilot study*, Mineralogy and Petrology, 46 (1992) 259-289.
- [27] Pearce J.A., *Source and setting of granites rocks*. Episodia, 19-4, (1996) 120-125.
- [28] Schmidt M.W., Dardonb A., Chazotb G., Vannuccic R., *The dependence of Nb and Ta rutile–melt partitioning on melt composition and Nb/Ta fractionation during subduction processes*,

- [41] De Paolo D., *Neodymium isotopes in the Colorado Front Range and crust-mantle evolution in the Proterozoic*. Nature, 291 (1981) 193–196.
- [42] Baxter S., Feely M., *Magma mixing and mingling textures in granitoid: examples from the Galway granite, Connemara, Ireland*, Mineralogy and Petrology, 76 (2002) 63-77.
- [43] Woods A.W., Cowan A., *Magma mixing triggered during volcanic eruptions*, Earth and Planetary Science Letters 288 (2009) 132–137 , doi:10.1016/j.epsl.2009.09.015.
- [39] Roberts M. P., Clemens J. D., *Origin of high-potassium, calc-alkaline, I-type granitoids*. Geology 21 (1993) 825-828.
- [40] Zhang X., Zhang H., Jiang G.N., Zhai ZhangY., *Early Devonian alkaline intrusive complex from the northern North China craton: a petrological monitor of post-collisional tectonics*, Journal of the Geological Society, London, 167 (2010) 717–730.